



Universidad Nacional Autónoma de México

FACULTAD DE CIENCIAS

ANALISIS DE LOS ESTERES METILICOS DE LOS
ACIDOS GRASOS CELULARES DE SEIS ESPECIES
DE LA FAMILIA ENTEROBACTERIACEAE POR
CROMATOGRAFIA GAS-LIQUIDO

T E S I S
PARA OBTENER EL GRADO DE
DOCTOR EN CIENCIAS (BIOLOGIA)
P R E S E N T A
M. en C. VICTOR MANUEL RIVERA AGUILAR

TESIS CON
FALLA DE ORIGEN

MEXICO, D. F. 1991





UNAM – Dirección General de Bibliotecas

Tesis Digitales
Restricciones de uso

DERECHOS RESERVADOS ©
PROHIBIDA SU REPRODUCCIÓN TOTAL O PARCIAL

Todo el material contenido en esta tesis está protegido por la Ley Federal del Derecho de Autor (LFDA) de los Estados Unidos Mexicanos (Méjico).

El uso de imágenes, fragmentos de videos, y demás material que sea objeto de protección de los derechos de autor, será exclusivamente para fines educativos e informativos y deberá citar la fuente donde la obtuvo mencionando el autor o autores. Cualquier uso distinto como el lucro, reproducción, edición o modificación, será perseguido y sancionado por el respectivo titular de los Derechos de Autor.

I N D I C E

	Página
INTRODUCCION.....	1
OBJETIVOS.....	9
METODOS.....	10
RESULTADOS.....	15
DISCUSION.....	39
CONCLUSIONES.....	44
BIBLIOGRAFIA.....	45
APENDICE.....	51

INTRODUCCION

La presente tesis, forma parte del Proyecto de Conservación y Mejoramiento del Ambiente, que se desarrolla en la Unidad de Investigación de la ENEP Iztacala, a partir de 1986 en el área de bacteriología ambiental con el apoyo de CONACYT y en convenio con el Instituto de Investigaciones del Agua en Praga (Checoslovaquia), bajo la asesoría del Doctor Hauser y el Doctor Richter, especialistas a nivel mundial de este tema.

El objetivo de la investigación es analizar en un inicio, los aridos grados iniciales de la especies de la familia Enterobacteriaceae para obtener un banco de datos que permita la identificación de especies de esta familia con base en el perfil lipídico de cada bacteria. En esta fase se trabaja con 6 especies, todo un trabajo para la implementación de la técnica en nuestras laboratorias y para iniciar la constitución del banco de datos.

Actualmente se trabaja con el género *Bacillus* y 5 de sus especies. En el año de continúan con otros géneros hasta cubrir la familia Enterobacteriaceae. En la obtención del banco de datos se promedia la identificación de enterobacterias en aguas y aguas de desecho que es el tipo de muestra problema que se caracterizan en el Instituto de Conservación y Mejoramiento del Ambiente.

IDENTIFICACION TAXONOMICA EN BACTERIAS

La identificación taxonómica de los microorganismos es uno de los problemas más difíciles de la microbiología moderna, que retienen además la suma total de nuestros hallazgos alrededor de los microorganismos. Es así que el estándar de identificación es un "reflejo" del nivel que han alcanzado los sistemas de identificación, ya sea clínico y a los que científicamente se les ha puesto un énfasis especial pues ademas de lo que en teoría las propiedades de los microorganismos en cuanto a su morfología, cultivo y fisiología. También se han establecido otras técnicas que año con año han llegado a ser más sofisticadas. En la actualidad, para la identificación precisa se requiere de pruebas excede ya de cincuenta y deben complementarse con técnicas serológicas, fagotipificación o algunas otras pruebas de determinación tales como el citofluorescencia, etc. Así, hoy día se utilizan procedimientos de rotación y alternancia en la microestructura celular (14).

Sin embargo, en la actualidad se demuestra que los actuales métodos convencionales de identificación no son totalmente satisfactorios y además presentan limitaciones tanto en la eficiencia que en las tasas de precisión que es procesada por falta de tiempo y tecnología. Así no es utilizada completamente. Estas deficiencias fueron minimizadas por métodos de taxonomía numérica que ayudan a realizar el trabajo por medio de métodos computacionales que en su mayoría aunque la información de cada una de las matrices de interrelación es considerable ya que las tablas diagnósticas originales se han encuestado por la

frecuencia de aparición de cepas en cada taxón. Se han utilizado y casi se han hecho clásicas las matrices de Bascom (1971) o la de Farmer III (1971-1975), para el manejo de la información.

Se evidencia con lo anterior que los métodos convencionales permiten una diferenciación muy satisfactoria de los distintos taxones, así como de las categorías intraspecíficas. Sin embargo, estos métodos no solo representan una actividad lúdica, sino también consumen mucho tiempo y son poco prácticos, especialmente en la clínica, donde no son transferibles dentro al tiempo que transcurre entre el muestreo y la obtención de resultados.

Aunque en años recientes se ha hecho un esfuerzo para simplificar y simplificar la identificación tanto los que utilizan en sus métodos por micropruebas, como otros e sistemas de identificación comercial de bacterias, API que permite una diferenciación parcial de los patógenos o la aplicación de métodos por computadora, la identificación aún permanece muy complicada pues esta siempre basada en el criterio principal de la identificación de las propiedades biológicas de los microorganismos (1971-1975).

Por esta razón varios autores han tratado de eliminar la laboriosidad y desventajas de los procedimientos convencionales y tratan de encontrar una solución al reemplazarlos por un método simple que proporcione al menos la misma cantidad de información. Estos autores tratan de llevar la identificación hacia otro principio y buscar características o rasgos principalmente en la composición química de los microorganismos, por lo que centran su atención en sustancias que están presentes en varios microorganismos en la escala más amplia posible. Estos autores se pudieron establecer dentro al desarrollo de métodos avanzados de análisis y de separación, nuevos y avanzados, especialmente por cromatografía líquida y de gases, espectroscopía de masas, electrotromigración y espectrotermia en el intervalo del infrarrojo (IR) (1970), el desarrollo de la instrumentación y automatización del proceso analítico hace una perfecta separación de los posibles componentes de la muestra. La aplicación práctica de estos métodos en el campo de la farmacología se menciona cuando hayan más en la literatura técnica (1971-1975). A continuación se indica que sucede en la mayoría de pruebas biológicas, tanto resultados como se expresan con signo positivo o negativo, ya que la diferencia es sólo sirve para la determinación de la validez, sino también de cantidades, lo que significa que el antrópico se informa con obtención por un simple análisis es considerablemente mayor, cinco pruebas biológicas con respuesta positiva o negativa, preferirán al menor de combinaciones, mientras que cinco componentes determinados por cromatografía de gases, alcanzan 10 diferentes valores y proveen 1000 combinaciones. Por esta razón podemos hablar acerca de los métodos usados en la farmacología, no sólo como métodos rápidos, sino fundamentalmente exactos, cuyos resultados pueden ser numerátivamente procesados.

El objeto de interés de los métodos en farmacología es en todos los casos no solo la célula viva, sino también las diferentes estructuras celulares, endocitosis, exocitosis, productos metabólicos que son liberados en el medio de cultura o bien productos virales y gaseosos, que dan tan importante de las características del organismo en su actividad y su combinación. La

mayor cantidad de información puede obtenerse por análisis de la masa celular, por un lado los lípidos y azúcares y, por otro compuestos presentes en menor proporción como son los ácidos nucleicos. Las macromoleculas formadas por estos compuestos pueden ser lipídicas para un organismo tanto en representación cualitativa y cuantitativa como en su secuencia.

El análisis que más atención esté dando se refiere a la presencia y composición de las sustancias de alta peso molecular en la célula o en las sustancias de bajo peso molecular producidas por hidrolisis de la materia celular. Las sustancias de alta peso molecular se determinan cuantitativamente por medio de la titeración líquida y el centrifugado.

De principal importancia para la identificación microbiológica es, sin embargo, la existencia de los lípidos, el análisis del estado presente del organismo, siendo éste especialmente la determinación de diferentes componentes lipídicos y principalmente de los ácidos grastos, parece ser hasta ahora el método más promisorio para la determinación taxonómica de los microorganismos (Sob).

Los lípidos en los organismos juegan un papel de componentes estructurales de las partículas celulares, membranas celulares, proveen de energía y transmisiones de energía. En cuanto al aspecto taxonómico los componentes lipídicos más importantes son los ácidos grastos. Estos son ramificados, tales como los familiados sarracenos, rhamnoides e hidrocarbonados con un grupo hidroxipropano.

La mayoría de los autores que abordan el problema de la determinación de los ácidos grastos, incorporando a las células de los microorganismos, consideran la posibilidad de identificar las partes diferenciales de estos con este método, como un criterio principal de identificación para distinguir dos o más taxones, facilitando diferenciaciones en un mismo grupo de microorganismos.

Por otro lado, algunos investigadores consideran que la atención debe dirigirse a la determinación de ácidos organicos incorporados en la placa de los cultivos celulares, como la fuente de información exclusiva y efectiva para la identificación, y la ventaja principal es la titeración directa en el tiempo del proceso completo de identificación y clasificación.

Es clínico que los métodos propuestos requieren instrumentos especiales y de una inversión económica inicial fuerte, pero por otro lado es menor el trabajo en cuanto a la preparación del material de hidrólisis, teniendo el cultivo necesarios, en comparación con los métodos convencionales de identificación.

Los resultados que se han obtenido hasta la fecha han llevado a considerar las ventajas del método de identificación descrito, comparado contra el convencional y hasta ahora comúnmente utilizado, es decir el cultivo y las pruebas bioquímicas. La ventaja del primero es la reducción a un mínimo de errores del personal y en el caso de la titeración en el campo de laboratorio óptimo, llegar casi a la completa automatización al considerarlos

el principio del proceso mismo. Llegaremos a la conclusión que "de facto" este es un esfuerzo para caracterizar a un cierto organismo por la gran posibilidad de comparar información. En el proceso convencional toda información requiere un procedimiento por separado. Para tal proceso es típico que la cantidad de información obtenida sea directamente dependiente del número de pruebas realizadas bajo naturalmente incrementa la complejidad del proceso completo de identificación (170-172).

Por otro lado, la identificación taxonómica con la ayuda de la determinación chromatográfica de los ésteres metílicos de los ácidos orgánicos celulares, hace posible parar en una sola operación prácticamente el mismo tipo de información bajo condiciones objetivas y sin ningún trabajo extra. Además a esto, los resultados pueden obtenerse en poco tiempo, lo que es de excepcional importancia para aplicaciones prácticas (173).

El principio del método propuesto para identificar las bacterias por análisis de los ácidos grasos celulares de las enterobacterias por chromatografía gas-liquido, está basado en el hecho de que esta categoría taxonómica, está caracterizada por la presencia de relación mutua se los ácidos grasos celulares que tienen en los microorganismos bacterianos la misma composición por chromatografía de gases, una vez que se han identificado después de la lipofiliación y esterificación de los cultivos. Los resultados obtenidos por chromatografía son una imagen cualitativa que es similar a una huella digital en criminalística que corresponde a un cierto microorganismo y no es intercambiable. De ahín resulta la reproducibilidad de los datos obtenidos, bajo condiciones constantes, el conocimiento exacto de la composición química de los ácidos orgánicos respectivos, y sus ésteres, es importante (173).

Todas las células bacterianas tienen una composición química muy similar. El componente principal en cada caso es el agua que representa aproximadamente el 70% de la masa celular (174-175). Los componentes fundamentales en las células, son el carbono, hidrógeno, nitrógeno, fosforo y azufre. Otros elementos incluyen al calcio, cloro, manganeso, magnesio, potasio, sodio y zinc. La selección de componentes únicos y la medición de la proporción relativa de sustancias comunes, se usa cada vez más como una herramienta en la identificación y clasificación de bacterias y otros microorganismos como amibas, hongos y algas (175-176-177-178).

LÍPIDOS EN BACTERIAS

Los lípidos son insolubles en agua y solubles en solventes orgánicos se han subdividido artificieramente en saponificables y no saponificables. Los primeros son generalmente glicéridos y ésteres carbonílicos, los cuales son rápidamente hidrolizados. Los lípidos no saponificables no se hidrolizan y generalmente no son ésteres. Los saponificables se subdividen en lípidos simples, grasas y ceras. Los lípidos complejos o tricíclicos, lípopeptidáricos y lípoproteínas (179). Los lípidos, salvo pocas excepciones, no forman polímeros y no se clasifican exactamente como macromoléculas. Las grasas son químicamente,

glicerol y esteres de ácidos grasos (42).

En los procariontes hay dos tipos de lípidos: Las Eubacterias poseen acil lípidos (uniones éster) y las Arqueobacterias poseen uniones éter. Los lípidos se encuentran en las membranas citoplasmáticas en las Eubacterias y en la pared celular a nivel de las capas complejas de las Gram negativas y ciertas Gram positivas. En la ultima década, los lípidos de diferentes clases en Eubacterias han presentado un potencial en Quimioraxonemia (430) (431) (432).

Los lípidos y sus ácidos grasos celulares se encuentran en todos los microorganismos, excepto en cierto tipo de virus; este tipo de compuestos biogénicos, presentes en bacterias, han sido estudiados por Cromatografía de los lípidos, mas que cualquier otro tipo de componentes biogénicos (433) (434) (435). En la actualidad no existe un método universalmente aceptado para la extracción de lípidos de la célula bacteriana, como consecuencia el número de técnicas posibles es muy grande (41) (42) (43) (44) (45) (46) (47).

Los componentes lípidos actualmente analizados por cromatografía de gas-líquido, son los esteres metílicos de los ácidos grasos, o menos frecuentemente los ácidos graso libres, triglicéridos, aldehídos graso, alcanos y esteroles (41) (42) (43) (44).

Los ácidos grasos pueden ser estimados del total de la célula por extracción directa o por análisis de lípidos previamente extraídos, esta última es la técnica usada en bacterias y la mayoría de los métodos para extraer lípidos celulares totales, hacen uso de la extracción de Folch et al (48). Esta técnica fue desarrollada originalmente para lípidos presentes en mamíferos y aves. Aproximadamente, un gramo de bacterias en peso seco como material inicial. En toda la duración de los experimentos no existen trabajos que determinen la eficiencia de los diferentes métodos de extracción (49). La mayoría de los métodos liberan los ácidos grasos de los lípidos, los esteres metílicos de los ácidos grasos liberados sirven para indicar la presencia de los lípidos.

El uso de solventes calientes es más efectivo que el de los solventes fríos, ya que los lípidos presentes forman parte de las proteínas constituyentes en las Gram negativas, son más solubles en solventes calientes, además de que estos trastocan las lipasas bacterianas (49).

Los ácidos grasos celulares son analizados en las bacterias por los siguientes criterios:

- a) Se están usando como medio de rápida identificación, parecido a una huella digital, en cepas bacterianas con fines taxonómicos (identificación y clasificación); en esta aplicación la Velocidad y Reproducibilidad del método es de importancia capital.
- b) Han sido analizados durante el curso de estudios metabólicos, donde la exactitud en la cuantificación es importante.
- c) La selección de estas siempre debe estar sujetas a un detallado escrutinio de tipo químico, las clases de lípidos han sido aisladas y analizadas por separado, con técnicas de conversión cuantitativa de grupos acilo del glicerol a esteres metílicos carboxílicos, se practica cada día.

d) La composición de los ácidos grasos celulares es una característica muy estable genéticamente, la cual está altamente conservada. Los resultados de un análisis chromatográfico son muy similares a los que produce la homología del ADN. Las mutaciones simples, perdida o ganancia de plásmidos, no alteran la composición de los ácidos grasos celulares (41-18-33-44-47-50).

El primer análisis por chromatografía de los líquidos para determinar ácidos grasos bacterianos, lo realizaron James y Martin en 1966 (42), al esterilizar un extracto de *Bacillus subtilis*. Mas tarde, la clasificación de bacterias por medio del análisis de chromatografía gasolíquido fue sugerida por Abel y colaboradores en 1968 (43), quienes se consideraron los fundadores de una nueva dirección en la bacteriología moderna. Al introducir esta técnica, para clasificar especies de la familia Enterobacteriaceas. En forma similar vino un intento de taxonomía para la familia Enterobacteriaceae, Roe y Friend en 1969 (44), Brian y Gardner en 1971 (45), H. Johnson en 1975 (46), Schmitz y Goeritz en 1984 (47), Hansler y Richter en 1984 (48), y Veys y colaboradores en 1989 (49). Utilizan la chromatografía de gases para identificar y establecer la posición taxonómica de diversos géneros y especies de enterobacterias.

El estudio de la composición de ácidos grasos de lípidos bacterianos, para cada grupo taxonómico, es una de las líneas de investigación que más desarrolló en este momento, diversos autores (49-51-52-53-54-55-56), señalan las diferencias más importantes entre las bacterias Gram positivas y Gram negativas. Se ha encontrado que en las segundas, se presentan principalmente ácidos dicarboxílicos, palmitato y palmitoleato. Varias esteras metílicas no se han identificado aún, para las Gram positivas, la tembrana es el principal sitio de constituyentes lipídicos, el 90% de los lípidos están en la membrana y el otro 10% en la corteza, principalmente en la corteza. La composición química difiere. Mas, el 80% (49-56) descubren que las Gram negativas poseen un alto grado de saturación, ya que 14 de 16 especies poseen cadenas lineales saturadas de 16 carbonos (49-51-52-53-54-55-56). Tíentras que las Gram positivas exhiben gran variación en su composición. La ausencia de ácidos con cadenas ramificadas es la característica de bacterias Gram negativas. Tíentras que las Gram positivas se caracterizan por ácidos con cadenas ramificadas, principalmente para ácidos grases de cadena lineal, saturada (49-51-53-54-55-56).

Actualmente, diversos trabajos (49-51-52-53-54-55-56), discuten la variación en los valores de los ácidos grasos como producto de los cambios que ocurren en los parámetros experimentales. Los perfiles chromatográficos pueden variar con cambios asociados a la edad del cultivo (54), sustituto utilizado (55), temperatura de incubación (55), dilución usada en los cultivos (51), aereación (52), concentración de mitocondriales y vitaminas (52) y pH (55).

De todos estos, ha surgido la propuesta de varios laboratorios (49-51-53-54-55-56), de que el trabajo debe estandarizarse y con esto automatizar la técnica. La idea es tener un líquido que contenga bacterias, en que la mayor parte de la composición de los líquido de ácidos grases celulares en bacterias, tiene casi treinta años.

de desarrollo, aun prevalece la inexperiencia para operar e interpretar los datos del chromatograma, lo que limita la técnica, es así que a finales de los setenta y durante la década de los ochenta, para obtener la máxima información de los perfiles chromatográficos, se aplicaron diversos métodos estadísticos multivariados (51) (57) (42). El análisis de las condiciones en el análisis chromatográfico son necesarias, para ayudar a disminuir el impacto de la diversidad debida a condiciones de cada variable en la marcha chromatográfica (74).

CARACTERÍSTICAS GENERALES DE *Enterobacter*, *Enterobacter* Y *Escherichia*.

La familia Enterobacteriaceae (Pahn) consiste de bacilos Gram-negativos, anaerobios facultativos y aeróbicos, no forman esporas y crecen bien en medios artificiales. Algunas especies son atróficas también ocurren variantes no móviles de especies móviles, las formas móviles son peritípicas. Los nitratos son reducidos a nitritos y la glucosa es utilizada fermentativamente, con la formación de ácido o de alcohol y gas, la prueba de la indolefénol oxidasa es negativa y el alginato no es líquido.

El género *Escherichia* se compone de bacterias móviles y no móviles que conforman la definición de la familia Enterobacteriaceae y la tribu Escherichiella. Forman ácido y gas de una amplia variedad de carbonhidratos fermentables, el adonitol y el inositol son poco utilizados. La lactosa es fermentada pero algunas cepas la utilizan lentamente y algunas no la fermentan. La lisina, arginina y ornitina son descarboxiladas por la mayoría de los cultivos, se forma ácido del malato de sodio y el acetato de sodio es utilizado como una sola fuente de carbono. La especie tipo es *Escherichia coli* Miquail Castellani y Chalmers.

El género *Enterobacter* está compuesto de bacterias móviles que conforman la definición de la familia Enterobacteriaceae y de la tribu Salmonellae. La lisina no es descarboxilada y menos del 2% de cepas poseen ornitina descarboxilasa. La ureasa es poco producida por la mayoría de los cultivos y la reacción es débil. El crecimiento ocurre en medio que contiene cloruro de potasio y el ácido es producido en medio de arrozado de Jordans. La gelatina no licaea en medio nutritivo. El adonitol y la cellobiosa son fermentadas rápidamente por la mayoría de los cultivos. La lactosa es utilizada pero la reacción frecuentemente es tardada. La especie tipo es *Enterobacter cloacae* Brasil, Weilman y Gillen.

El género *Enterobacter* está compuesto de bacterias móviles que conforman la definición de la familia Enterobacteriaceae y de la tribu Klebsielleae. La reacción Voges-Proskauer es positiva, la gelatina se licaea lentamente por la forma más común (*Enterobacter cloacae*). La lisina descarboxilasa no se produce en *E. cloacae*, pero otras especies del género poseen este sistema enzimático, produce ornitina descarboxilasa. El alginato de sodio no es utilizado como única fuente de carbono. El ácido se produce del inositol, rhamnosa, arabinosa y galactosa por la mayoría de las especies. La especie tipo es *Enterobacter cloacae* Brasil, Weilman y Gillen. Hormonas no se han visto en *E. cloacae*.

La clasificación de la familia Enterobacteriaceae ha sido motivo de gran controversia. La clasificación más utilizada es la de Edwards y Ewing de 1982 (1977-78). A pesar de su tendencia reduccionista, ha sido aceptada debido a su utilidad para el diagnóstico y para los estudios epidemiológicos. Este esquema se ha complicado con el correr del tiempo; en 1972 (1973), se reportaban 11 géneros y 26 especies de la familia; en el año de 1985 (1987), se reportan 23 géneros, 69 especies y 69 biovariedades. Lo que ha complicado aún más la sistemática de la familia, se sabe que es necesario incorporar nuevos criterios de clasificación e identificación a los ya existentes, como en el análisis taxonómico y en especies. El análisis de lípidos para identificar gérmenes, sobre todo a nivel de cepas, es una de las únicas técnicas que brinda la oportunidad de separar taxonómicamente las complejas bacterias que no trabajados en la familia Enterobacteriaceae.

Tradicionalmente para determinar a los miembros de la familia Enterobacteriaceae se han utilizado una serie de medios de preparación ingestaiva, con azúcares que dan una identificación preliminar de los bacilos entericos. Aunque la fermentación y reacciones metabólicas en medios diferenciales permiten la probable identificación, su identificación final a nivel de especie, se basa generalmente en su estructura antigenica. Sin embargo, ciertas cepas que poseen la misma actividad antigenica pueden dar lugar a reacciones morfológicas distintas en fermentaciones o cultivos.

El conducto gastrointestinal constituye un ambiente ideal para el desarrollo de una amplia variedad de tipos de *E. coli*, *Enterobacter* y *Enterobacteriaceae*; bacterias y virus bacterianos entericos. La población posee una densidad elevada; el crecimiento es continuo; las condiciones nutricionales variadas y los genes pueden ser transferidos de una cepa a otra por transducción, lisogenización y conjugación. El resultado de esta situación consiste en el nacimiento de una amplia variedad de recombinantes que presentan patrones superpuestos de hidrolisis y de actividad antigenica.

Basar la clasificación e identificación en solo pruebas bioquímicas, tecnologías o fisiológicas puede limitar a bacterias como las que hoy crecen en los sistemas farmacéuticos para esta familia. Si incorporar el análisis chromatográfico de gases, en los lípidos de enterobacterias puede representar una herramienta de gran utilidad en un nuevo enfoque de la sistemática tradicional, y establecer mejores relaciones taxonómicas más naturales (1987-88).

OBJETIVOS

- Instrumentar en Mexico la tecnica de chromatografia gas-liquido para el analisis de acidos grasos celulares en enterobacterias
- Determinar la composicion de los acidos grasos celulares en las siguientes especies de la Familia Enterobacteriaceae:
Enterobacter amoenus. *Enterobacter freundii*. *Enterobacter aerogenes*. *Enterobacter agglomerans*. *Enterobacter cloacae* y *Escherichia coli*.
- Proponer los perfiles chromatograficos de los acidos grasos en las seis especies bacterianas, como el inicio de la construccion de un banco de datos, para la identificacion-clasificacion de enterobacterias de interes clinico y sanitario en Mexico.

METODOS

ORGANISMOS Y CONDICIONES DE CULTIVO

Las cepas de bacterias usadas en este trabajo se muestran en la tabla I; todas ellas provienen directamente de la American Type Culture Collection (ATCC). Para garantizar la viabilidad y estabilidad genética de las cepas, durante el estudio, se depositaron en frío seco en el laboratorio de Cultivos Microbianos del INVESTAV. Las cepas fueron identificadas por prácticas microbiológicas, estancadas en agar líquido, congeladas a -20°C y sección de cada muestra individualizada en envases autoclavados y procesadas individualmente por el sistema de identificación comercial API 20E (API System, Analytic BioSystems, Plainfield, NJ).

Las culturas se crean en agar nutritivo Merck tipo Broth, se preparan los cultivos de petri de 15 cm de diámetro por cepa bacteriana. Una sola capa de agar la cubierta de las culturas es a partir de un tubo con agar inoculado con la cepa bacteriana al final del período experimental de crecimiento. Se hace crecer la bacteria a 37°C hasta que alcance el fin de dicho período.

Posteriormente se recogen 0.1 mg de biomasa, las cuales se pesan en tubos de ensayo en la balanza analítica. Para obtener esta cantidad de biomasa la incubación debe hacerse por estaciones que cubran totalmente la cara.

La cosecha celular se obtiene por lavado de la superficie del medio de cultivo bacteriano. Para cepas no patógenas la solución de lavado es solución disolvente isotónica al 0.9% de NaCl. Con ayuda de una aspiradora se desprenden perfectamente todo el contenido celular de la cara de petri y se vierte la suspensión que se forma directamente a un tubo de ensayo, se pesa la biomasa y se pasa a un tubo de centrifugado, se centrifuga a 10000 rpm durante 10 min. En el fondo del tubo se desechará el sobrenadante para agregar nuevamente solución salina para lavar y centrifugar una vez más.

Con las cepas patógenas es posible utilizar varios métodos para los tres lavados de la superficie del medio de cultivo. Un peligro de incluir en los resultados de los chromatogramas es obtener un método práctico es aquel que además del lavado, incluye la fixación, para este propósito se puede utilizar una solución de formaldehído al 10%.

De los 0.1 mg de biomasa obtenida se prepara la materia seca, al transferir la pastilla del tubo de centrifugado a vialles, previamente lavados con hexano y secados en estufa, la transferencia se realiza por medio de una cucharilla de metal previamente lavada con hexano. Se reparte perfectamente la biomasa sobre las paredes de los vialles, con la finalidad de obtener un secado más rápido y eficiente durante la cristalización.

TABLA 1. TIPOS DE MUS EN ESTE ESTUDIO

ESPECIE	TIPO DE REFERENCIA
CALIFORNIA, CALIFORNIA.	ATCC 25942
CALIFORNIA, LICHENUM.	ATCC 49420
EDMONDSEN, ARIZONA.	ATCC 15949
EDMONDSEN, ARIZONA.	ATCC 27195
EDMONDSEN, CALIFORNIA.	ATCC 25947
EDMONDSEN, CALIFORNIA.	ATCC 25948

Los viales permanecen cerrados en todo momento para evitar cualquier contaminación, hidratación y destrucción de ácidos grasos.

LICUIFICACION

El paquete celular obtenido se acondiciona previamente, se coloca el vial en una mezcla de hielo seco y acetona para alcanzar aproximadamente -70°C, posteriormente se licuifica en un aparato Labcold LIPIFLUX 4 S. I., con un sistema de enfriamiento en seco (-75°C) (-50°C), por una hora aproximadamente, previamente se acondiciona la licuificadora a -75°C y un vacío de 25 milímetros de mercurio (-25°C) y 10 mm Hg. No es recomendable almacenar el licuificado por que al pasar el tiempo se presentan problemas de hidratación y descomposición de los ácidos grasos. Si fuese muy necesario, se coloca a -20°C en un congelador.

ESTERIPLACION Y EXTRACCION DE LOS ACEITES GRASOS

El proceso consiste en agregar a la muestra licuificada (no más de 1 ml) de una solución de metanol de sódico (solución Al Metacido de sodio) y después de agitación por 5 minutos, adicionar otra solución de metanol saturado con HCl gas (solución B). Hasta alcanzar un pH de 1 o 2 y agitar 30 minutos. Transcurrido este tiempo adicionar 1 ml de NaCl (sol).

El proceso de extracción de ésteres metilicos con hexano, se realiza al agregar 1 ml de hexano, se agita la muestra y se separa la capa de hexano con los ésteres metilicos (capa superior transparente) con una pipeta Pasteur. Se pasa a un tubo de ensayo que contiene sulfato de zinc 10 mm para extraer el agua. Se repiten los lavados por dos veces para cada una de las muestras. La evaporación del hexano se realiza con H2gas hasta un volumen de 10 ml para tomar 1 ml que se inventa al chromatografo de gases (620).

ANALISIS DE LOS ACEITES GRASOS ESTERIFILADOS

La muestra de 1 ml de la fracción obtenida de los ésteres metilicos se analiza en chromatógrafo de gases (Hewlett Packard Instrument Division, Rockville, Md.) equipado con un inyector sencillo (empaque SE-30), FID, detector de ionización de llama hidrocarbonado (FID-HC), y una columna capilar de sili-con fundido (FID-1, 4 m por 0.25 mm diámetro interno) calentada a 100°C, 100°C de capa constante estacionaria. En principio, la mezcla de ésteres de ácidos grasos puede separarse tanto en columna normal como en columna capilar, sin embargo, los resultados en columna capilar son mas confiables, debido a la mejor separación que puede obtenerse de ella y en la que disto luego intervienen su longitud y su tipo de fase empleada (61). Se puede sin embargo, utilizar una columna normal, por ejemplo con empaque de una fase no polar (SE-30), Chromaton N-Super, la cual no da una perfecta separación de los ésteres de ácidos con doble ligadura, sin embargo, es suficientemente estable a altas temperaturas (arrriba de 240°C) y esto permite tratarlos sin una

columna de compensación y por lo tanto analizar dos muestras simultáneamente. La suficiente estabilidad térmica es también una ventaja. Si la muestra tiene componentes donde la longitud de la cadena de carbono es de más de 20 unidades (e.g.) (38)

Las condiciones de operación fueron las siguientes:

Temperatura del inyector 210°C

Temperatura del detector 210°C

Presión del nitrógeno 40 psi

Temperatura de la columna programada de 120°C a 250°C a 4°C/minuto. El gas acarreador fue nitrógeno con un flujo aproximado de 5 ml/minuto al punto de inyección. Bajo estas condiciones los ésteres metílicos de los ácidos grases de 10 a 20 carbonos de longitud, elvieron de la columna en 35 minutos en promedio. La cuantificación de los perfiles chromatográficos en el área de los picos fue efectuada con un integrador electrónico (Hewlett Packard 3380A).

Los picos de los ésteres metílicos de los ácidos grases, fueron identificados primariamente por la comparación de los tiempos de retención de cada cepa, con los tiempos de retención de una mezcla estandar de ésteres metílicos de los ácidos grases bacterianos de referencia 470BRI. La mezcla contiene un total de 10 mg/ml de ésteres metílicos en metil caprato, dipepto zinc, Bellaronte, Paf. Todos los organismos fueron procesados entre 5 y 8 veces.

ANALISIS ESTADISTICO

De los picos de los ácidos grases obtenidos en el chromatograma el punto de interés, son los ácidos con el número de átomos de carbono en el intervalo de 10 a 20. Los ácidos con una cadena más corta que 10, aparecen como productos intermedios y entonces no se toman en consideración. Una vez determinados los picos de importancia en el chromatograma del estandar seleccionado, se procedió a procesar la información de la siguiente manera:

a) Normalización. Esto es el primer paso de manipulación numérica a efectuarse con los datos obtenidos, con el fin de estandarizar las unidades de medición en porcentajes de las áreas dadas por el chromatograma, así se preparan los datos de las 8 especies bacteriológicas, que serán analizados por los métodos estadísticos descritas en los puntos siguientes.

El proceso de normalización se efectúa mediante la transformación de los datos numéricos de área y tiempo a partes proporcionales en porcentaje en relación a un dato de área o tiempo, como referente que se considera el 100%. El criterio para obtener el dato de área y tiempo referente es el siguiente: de los nueve ésteres originales arrancados por el chromatograma, se elige como dato referente para la normalización, aquél que provenga del pico o área más alta y se le asocia el tiempo, en una conversión basada en un estandar seleccionado previamente, la que se tienen los datos normalizados se procede a tabularlos y graficarlos por las repeticiones efectuadas en cada cepa (22).

b) Medidas estadísticas descriptivas. La media aritmética, desviación estandar y coeficiente de variación, para las áreas de los picos y tiempos de retención normalizados, fueron calculados

para cada especie. Los valores se calcularon como porcentajes del total del área del piso para estimar el efecto de la variación por el tamaño del nicho.

Analisis de conglomerados. El método de clasificación utilizado en este estudio es el de unión simple, y se utilizó primero para formar grupos en términos de presencia o ausencia de los carbonos, en segundo término para formar los grupos de acuerdo a su área normalizada. Para el primer caso se utilizó como medida de similitud el coeficiente de correlación para variables dicotómicas (78), en el segundo caso se uso como medida de similitud el coeficiente de correlación de Pearson y la distancia Euclídea.

RESULTADOS

La tabla # 1 muestra las cepas de referencia que fueron incluidas en este estudio, para obtener el patrón chromatográfico de los ácidos grasos celulares para cada especie en particular. Los chromatogramas gas-líquido de los ácidos grasos esterilizados para cada especie se presentan en el apéndice.

Para analizar la composición de los ácidos grasos de las cepas, se uso una columna capilar de silice fundida, ya que los isómeros iso y anteiso de los ácidos grasos con la misma longitud de carbonos y también los derivados hidroxilados son completamente separados en esta columna. La comparación de los chromatogramas a partir de las muestras esterilizadas de los ácidos grasos bacterianos, con el perfil de referencia de los ésteres metílicos de los ácidos grasos, establece la pureza e identidad de 14 picos de ácidos grasos (tabla # 2).

Para evaluar los análisis chromatográficos de los ácidos grasos, como un procedimiento para la identificación de bacterias, se analizaron los resultados inicialmente de una manera cuantitativa y más tarde cuantitativamente.

La tabla # 3 resume la composición de los ácidos grasos celulares de 6 especies investigadas, en términos de presencia o ausencia. Los resultados se obtuvieron por análisis repetitivos, de 5 a 8 determinaciones. Se debe tener notar que además de los 14 ácidos grasos, se obtuvieron cantidades muy pequeñas de ácidos grasos de menos de 10 carbonos en la longitud de la cadena fueron detectadas (mínimos de 1%), sin embargo, debido a su área tan pequeña, su aparición no fue esencial para la determinación, estos picos son omitidos de la tabla # 3.

La estandarización de las áreas y tiempos para cada pico, en cada una de las 6 especies se efectuó según el procedimiento de normalización citado en el método, para estimar los análisis. Los resultados se muestran en la tabla # 4. Utilizando la fórmula en la tabla # 5, las intensidades obtenidas en la tabla # 4, se enterabas las desviaciones en la tabla # 6. Entonces las desviaciones en la tabla # 6 se multiplicaron para obtener los errores totales en la tabla # 7.

Ya con los datos normalizados y tabulados, se obtienen los chromatogramas normalizados para cada especie por corrida chromatográfica, para realizar los análisis estadísticos descriptivos de media aritmética, desviación estándar y coeficiente de variación para las áreas y tiempos de referencias de los picos de las cadenas de los ácidos grasos (tabla # 1 y # 2).

Las figuras 1 a 6 presentan los perfiles chromatográficos para cada especie. Las barras representan la media aritmética del área del pico del ácido graso. Sobre cada barra se encuentra la desviación estándar asociada.

TABLA 3 PRINCIPALES ACIDOS GRASOS ISOLADOS^a

Clave	IDENTIFICACIÓN	
	ABREVIATURA	NOMBRE
1	C-11:0	UNDECANOICO
2	C-12:0	DODECANOICO (CLAUPICO)
3	C-14:0	TETRADECANOICO MIPISTICO
4	C-10:18:0 + C-13:0:0	1,9-METIL TETRADECANOICO
10	C-15:0	PENTADECANOICO
12	9:0H + C-14:0	2-HIDROXY TETRADECANOICO
14	C-16:1:0 (Palmito)	9,16-9-HEXADECANOICO
15	C-16:0	HEXADECANOICO + PALMITICO
18	C-17:0	HEPTADECANOICO
19	2:0H + C-16:0	2-HIDROXIDECANOICO
22	C-18:1 ¹⁰ :0 (Trans) C-18:1 ¹¹ :0 (Cis)	Trans-9-OCTADECANOICO Cis-9-OCTADECANOICO
23	C-18:0	OCTADECANOICO ESTEARICO
24	C-19:0:0 (CILICO) 9:1:0	13,14-DI-9-METILENE- NITALECANOICO
26	C-19:0	NONADECANOICO

^a LOS ACIDOS GRASOS SON ENTRADAS DE ADETERPENAS AL ORDEN DE ELUCION DE LA COLUMNA DE VAPORATURA (MAS-LLAMADA).

TABLA 3. COMPOSICION DE LOS ACIDOS GRASOS CELULARES EN LAS SEIS ESPECIES INVESTIGADAS

	PRESENCIA DEL PICO NÚMERO *																								
	1	3	7	8	10	12	14	15	18	19	22	23	24	25	26	27	28	29	30	31	32	33	34	35	
<i>Citrobacter malonaticus</i>	○	●	●	○	●	●	●	●	●	●	●	●	●	●	●	●	●	●	●	●	●	●	●	●	
<i>Citrobacter freundii</i>	●	●	●	○	●	○	●	●	●	●	●	●	●	●	●	●	●	●	●	●	●	●	●	●	
<i>Enterobacter aerogenes</i>	○	○	●	○	●	●	●	●	●	●	●	●	●	●	●	●	●	○	●	●	●	●	●	●	
<i>Enterobacter agglomerans</i>	○	●	●	●	●	○	●	●	●	●	●	●	●	●	●	●	●	●	●	●	●	●	●	●	
<i>Enterobacter cloacae</i>	○	●	●	○	●	○	●	●	●	●	●	●	●	●	●	●	●	●	●	●	●	●	●	●	
<i>Escherichia coli</i>	●	●	●	○	●	●	●	●	●	●	●	●	●	●	●	●	●	●	●	●	●	●	●	●	

* EL NÚMERO DEL PICO SE REFIERE A LOS PICOS LISTADOS EN LA TABLA 2. LOS PRINCIPALES ACIDOS GRASOS PARA CADA ESPECIE SE INDICA POR ○-AUSENCIA ●-PRESENCIA, DE POR LO MENOS 5 DETERMINACIONES.

Citrobacter amalonaticus

14

TABLA. 4

CROM 42 7-4-89			CROM 41 7-4-89		
N	RN	TN	N	RN	TN
3	4.26	34.88	3	9.72	39.12
7	16.66	59.66	7	21.86	66.82
10	4.73	82.85	10	2.91	83.19
12	7.46	88.92	12	4.24	85.30
14	28.89	95.22	14	26.59	95.42
15	100.00	100.00	15	100.00	100.00
18	46.57	113.43	18	37.82	113.62
19	3.79	116.62	19	3.60	116.80
22	5.29	127.92	22	5.58	128.31
23	46.45	129.85	23	36.72	129.38
24	0.73	133.30	24	13.22	133.70

CROM 37 3-12-87			CROM 36 3-12-87		
N	RN	TN	N	RN	TN
3	2.36	37.78	3	2.28	37.99
7	16.58	65.89	7	27.31	66.31
10	3.30	82.85	10	2.59	83.31
12	1.24	99.43	12	3.82	88.47
14	13.75	95.32	14	7.48	95.54
15	100.00	100.00	15	100.00	100.00
18	52.05	113.75	18	43.79	113.98
19	2.23	117.45	19	6.39	116.69
22	3.32	128.92	22	2.81	128.92
23	22.55	129.76	23	15.76	129.98
24	3.85	134.84	24	3.95	134.59

CROM 35 18-11-87			CROM 34 18-11-87		
N	RN	TN	N	RN	TN
3	4.95	64.51	3	1.95	44.40
7	21.38	71.31	7	17.38	71.27
10	3.09	85.54	10	6.02	85.49
12	7.70	96.67	12	6.55	96.42
14	32.00	94.22	14	31.72	96.17
15	100.00	100.00	15	100.00	100.00
18	39.40	111.33	18	38.52	111.27
19	2.41	113.75	19	2.44	113.75
22	3.31	124.80	22	3.32	123.39
23	29.59	125.20	23	24.66	122.95
24	3.79	127.3	24	3.95	127.32

N = NÚMERO DE TÉMPLAS / DEL TOTAL / DE RENDIMIENTO / DE RENDIMIENTO NORMALIZADO

TABLA 5

Citreobacter freundii

19

CROM 9 28-12-87		
N	AN	TN
1	4.9	22.82
2	1.95	45.38
3	7.49	54.41
10	4.69	51.17
14	25.28	94.47
15	100.00	100.00
18	29.30	100.11
19	1.65	110.33
22	1.76	121.11
23	38.12	122.23
24	3.91	124.94
25	4.47	137.68

CROM 12 2-12-87		
N	AN	TN
1	3.48	16.51
2	6.17	16.66
3	16.18	66.14
10	4.95	92.88
14	42.77	94.34
15	100.00	100.00
18	12.62	113.74
19	4.15	117.65
22	4.45	129.15
23	36.33	129.92
24	10.41	134.62
25	1.54	140.11

CROM 13 3-12-87		
N	AN	TN
1	9.20	26.62
3	5.48	38.87
7	18.50	66.25
10	5.68	81.27
14	44.83	95.49
15	100.00	100.00
18	33.41	113.37
19	6.45	115.76
22	1.02	129.34
23	40.35	129.84
24	5.45	134.65
25	3.17	149.32

CROM 21 24-82-89		
N	AN	TN
1	6.15	35.22
2	6.74	36.83
3	13.43	65.89
10	5.11	92.63
14	23.14	95.27
15	100.00	100.00
18	56.78	114.84
19	5.24	117.77
22	3.97	129.54
23	43.63	130.58
24	10.72	135.43
25	6.91	149.16

CROM 28 3-83-89		
N	AN	TN
1	4.67	24.06
3	4.79	39.48
7	19.24	67.89
10	8.00	83.32
14	26.37	35.55
15	100.00	100.00
18	51.49	113.66
19	4.82	117.13
22	11.58	129.28
23	33.56	129.36
24	9.32	131.88
25	4.20	147.09

AN: NUMERO DE PICO DEL ACIDO GRASO
 TN: AREA NORMALIZADA
 TNA: TIEMPO NORMALIZADO

Enterobacter aerogenes

20

TABLA 6

CRON 5 3-02-89

N	AN	TN
-	19.67	67.89
10	20.13	83.57
12	5.46	59.34
14	36.89	95.59
15	100.00	100.00
18	46.24	113.82
19	4.60	116.29
23	24.87	138.15
24	2.63	132.24

CRON 9 10-02-89

N	AN	TN
7	19.49	64.85
10	19.41	81.69
12	9.19	57.38
14	34.80	94.71
15	100.00	100.00
18	47.81	114.00
19	4.91	117.33
23	38.87	138.59
24	6.83	134.99

CRON 22 24-02-89

N	AN	TN
7	19.32	65.85
10	19.20	82.58
12	7.45	88.34
14	34.90	95.18
15	100.00	100.00
18	47.31	112.65
19	4.98	117.66
23	36.77	138.57
24	4.25	135.31

CRON 48 7-04-89

N	AN	TN
7	24.26	66.84
10	8.89	83.12
12	9.49	89.15
14	46.83	95.44
15	100.00	100.00
18	46.91	113.45
19	7.98	116.96
23	61.84	129.28
24	7.81	133.69

CRON 43 2-12-87

N	AN	TN
7	24.21	65.95
10	8.61	82.65
12	7.51	88.70
14	36.28	95.11
15	100.00	100.00
18	47.32	113.62
19	4.61	117.89
23	38.82	129.59
24	4.79	124.84

CRON 44 2-12-87

N	AN	TN
7	22.57	65.91
10	9.29	82.45
12	7.18	88.48
14	36.77	95.03
15	100.00	100.00
18	47.13	113.55
19	4.78	116.94
23	36.28	129.44
24	4.35	123.89

AN: NUMERO DE PICO DEL ACIDO GRASO AN/AREA NORMALIZADA
 TN: TIEMPO NORMALIZADO

TABLA. 7

Enterobacter agglomerans

CROM 27 11-11-87		
N	AN	TN
3	7.53	44.52
7	21.63	71.42
8	2.38	18.81
12	7.20	50.89
14	9.10	56.23
15	100.00	100.00
16	47.58	111.42
23	18.00	124.20
24	12.98	127.20
25	19.52	130.52

CROM 28 11-11-87		
N	AN	TN
3	5.14	44.55
7	18.25	71.42
8	2.38	18.59
12	6.10	50.84
14	9.30	56.23
15	100.00	100.00
16	60.50	111.48
23	11.77	124.20
24	5.56	127.57
25	23.96	130.52

CROM 32 17-03-89		
N	AN	TN
3	5.87	38.75
7	28.55	66.49
8	3.64	76.51
12	7.56	88.91
14	4.90	95.10
15	100.00	100.00
16	41.79	113.74
23	12.68	129.22
24	21.58	133.66
25	27.56	147.13

CROM 46 28-04-89		
N	AN	TN
3	11.21	37.86
7	29.29	65.24
8	3.85	75.62
12	1.23	88.47
14	1.40	94.65
15	100.00	100.00
16	49.10	114.42
23	16.71	121.38
24	1.32	136.00
25	52.22	150.25

CROM 47 28-04-89		
N	AN	TN
3	9.81	38.12
7	31.45	65.24
8	3.49	75.62
12	1.21	88.79
14	4.00	95.22
15	100.00	100.00
16	71.13	114.42
23	17.48	121.22
24	4.21	136.00
25	50.50	150.25

AN: NUMERO DE PICO DEL ACIDO GRASO AN/ AREA NORMALIZADA
 TN: TIEMPO NORMALIZADO

Enterobacter cloacae

22

TABLA. 6

CROM 23 25-11-87			
N	AN	TH	TN
3	1.71	43.4	
4	4.12	73.4	
12	1.0	14.9	
14	10.93	15.9	
15	100.00	100.00	
18	51.45	111.4	
19	1.63	111.6	
22	4.25	123.2	
24	4.7	127.4	

CROM 24 25-11-87			
N	AN	TH	TN
3	1.47	47.5	
4	1.11	73.91	
12	0.91	75.12	
14	11.94	19.85	
15	100.00	100.00	
18	43.61	111.45	
19	1.39	113.49	
22	3.95	123.80	
24	4.17	127.9	

CROM 25 25-11-87			
N	AN	TH	TN
3	1.39	43.3	
7	8.93	76.3	
10	2.23	54.1	
14	33.69	15.8	
15	100.00	100.00	
18	48.5	111.4	
19	1.6	111.7	
22	5.76	123.2	
24	5.56	127.6	

CROM 43 28-04-89			
N	AN	TH	TN
3	1.23	47.8	
4	19.48	65.18	
10	2.9	32.4	
14	48.28	15.2	
15	100.00	100.00	
18	26.33	114.5	
19	4.39	113.2	
22	2.8	120.8	
24	11.86	126.11	

CROM 28 24-02-89			
N	AN	TH	TN
3	2.28	37.9	
4	1.97	65.7	
10	4.0	32.54	
14	27.14	15.14	
15	100.00	100.00	
19	52.4	114.11	
19	5.5	117.7	
22	6.18	123.7	
24	8.35	125.1	

CROM 44 28-04-89			
N	AN	TH	TN
3	1.1	37.1	
4	19.4	65.7	
10	3.1	33.2	
14	45.1	15.1	
15	100.00	100.00	
19	27.44	114.1	
22	3.9	117.7	
24	3.1	123.8	
24	13.5	136.11	

AN: NUMERO DE PICO DEL ACIDO GRASO ANTI AREA NORMALIZADA
TN: TIEMPO NORMALIZADO

Escherichia coli

CROM 1 14-18-87		
N	AN	TN
1	8.81	33.22
2	4.35	44.94
3	13.87	71.53
10	28.33	35.35
12	4.00	48.5
14	53.49	36.27
15	100.00	100.00
18	23.8	111.00
19	15.5	113.46
22	2.19	122.72
23	38.85	123.78
24	5.45	126.86

CROM 2 14-18-87		
N	AN	TN
1	1.25	33.12
3	6.92	44.57
7	21.68	71.24
10	34.00	35.58
12	11.00	90.40
14	59.25	96.22
15	100.00	100.00
18	24.7	110.87
19	15.8	113.38
22	2.79	122.43
23	32.98	123.85
24	4.55	126.55

CROM 5 25-11-87		
N	AN	TN
1	5.43	32.14
3	5.89	43.56
7	16.48	70.56
10	22.59	85.18
12	17.17	98.34
14	61.94	96.15
15	100.00	100.00
18	14.92	111.42
19	17.29	114.02
22	9.63	123.69
23	51.74	124.60
24	9.43	127.95

CROM 6 25-11-87		
N	AN	TN
1	2.78	32.14
3	4.67	43.56
7	14.23	70.56
10	22.07	85.18
12	13.27	98.34
14	62.47	96.15
15	100.00	100.00
18	17.07	111.42
19	18.13	114.03
22	4.43	123.63
23	56.23	124.67
24	6.74	127.95

CROM 7 25-11-87		
N	AN	TN
1	2.67	32.08
3	6.39	43.46
7	16.51	70.46
10	27.00	85.85
12	11.03	98.07
14	68.49	96.87
15	100.00	100.00
18	15.67	111.00
19	17.37	113.74
22	4.38	123.31
23	59.39	124.46
24	5.65	127.54

CROM 8 25-11-87		
N	AN	TN
1	3.75	32.14
3	5.06	43.56
7	15.22	70.60
10	21.35	85.18
12	16.62	98.34
14	62.65	96.17
15	100.00	100.00
18	15.79	111.42
19	16.92	114.03
22	5.40	123.63
23	51.54	124.61
24	6.07	127.95

N= NUMERO DE PICO DEL ACIDO GRASO AN= AREA NORMALIZADA

TN= TIEMPO NORMALIZADO

TABLA 1. ESTIMACIONES DE LOS COEFICIENTES DE VARIACIONES PARA LA AREA NORMAL Y ESTANDAR DE LOS DIFERENTES TIPOS DE ENTRAMOS.

ENTEROMETER ALUMINIO				
N	AN	DN	TN	CV
3	0.12	0.10	0.11	28.1
4	0.12	0.12	0.12	0
10	0.11	0.12	0.11	0.0
14	0.11	0.13	0.12	0.0
16	0.11	0.12	0.12	0.0
18	0.11	0.12	0.12	0.0
20	0.11	0.12	0.12	0.0
24	0.11	0.12	0.12	0.0

ENTEROMETER ALUMINIO				
N	AN	DN	TN	CV
3	0.11	0.10	0.10	29.7
4	0.11	0.11	0.10	0.0
10	0.11	0.11	0.11	0.0
14	0.11	0.12	0.11	0.0
16	0.11	0.12	0.11	0.0
18	0.11	0.12	0.11	0.0
20	0.11	0.12	0.11	0.0
24	0.11	0.12	0.11	0.0

ENTEROMETER ALUMINIO				
N	AN	DN	TN	CV
3	0.11	0.10	0.11	28.1
4	0.11	0.12	0.11	0.0
10	0.11	0.12	0.11	0.0
14	0.11	0.13	0.12	0.0
16	0.11	0.12	0.12	0.0
18	0.11	0.12	0.12	0.0
20	0.11	0.12	0.12	0.0
24	0.11	0.12	0.12	0.0

AN = ESTIMACION DE LA AREA NORMAL; DN = ESTIMACION DE LA AREA ESTANDAR; TN = ESTIMACION DE LA AREA NORMAL ESTANDARIZADA; CV = COEFICIENTE DE VARIACION ESTANDAR.

TABLE 1. A COMPARISON OF THE INCIDENCE OF CITROBACTER AND ESCHERICHIA COLI IN THE MUSSELS FROM THE GULF OF ST. LAWRENCE AND THE BAY OF FUNDY, AND THE INCIDENCE OF CITROBACTER IN THE MUSSELS FROM THE BAY OF FUNDY AND THE BAY OF SABLES.

ESCHERICHIA COLI					CITROBACTER ABNORMALIS					CITROBACTER ERINACEUS					
N	AN	CU	TN	CFU	N	AN	CU	TN	CFU	N	AN	CU	TN	CFU	
1	2.28	694	124	915	1	3.94	346	41	8	9236	2	2.44	249	10	228
2	1.68	167	43	54	2	1.87	112	11	7	1.78	3	1.98	223	17.4	188
3	5.40	167	43	54	3	19.7	292	54	5	8173	4	1.98	198	17	94
4	5.67	151	28	38	4	1.21	106	84	7	9173	5	1.73	145	63	14
5	17.0	151	28	38	5	1.53	110	11	5	9153	6	4.73	33	10	114
6	2.67	517	517	997	6	2.48	481	82	2	9093	7	1.73	236	43	2
7	24.4	183	85	12	7	2.44	481	82	2	9093	8	1.94	145	31	111
8	4.41	183	85	12	8	2.44	481	82	2	9093	9	1.67	195	17	95
9	1.29	252	517	997	9	2.44	481	82	2	9093	10	4.37	197	16	96
10	1.22	252	517	997	10	2.44	481	82	2	9093	11	1.98	198	17	94
11	41.8	979	16	999	11	1.69	9	100	9	15	12	2.44	249	10	228
12	4.41	979	16	999	12	1.69	9	100	9	15	13	2.44	249	10	228
13	100	0	100	0	13	1.69	9	100	9	15	14	2.44	249	10	228
14	100	0	100	0	14	21.2	151	112	10	8115	15	1.69	198	17	94
15	100	0	100	0	15	6.28	112	11	1	9153	16	1.69	198	17	94
16	18.6	335	111	1992	16	2.32	421	112	10	8153	17	4.42	197	17	94
17	4.41	335	111	1992	17	1.65	112	11	1	9153	18	1.73	145	63	14
18	16.7	966	113	1992	18	1.26	552	126	9219	19	1.73	145	63	14	1.73
19	1.62	966	113	1992	19	1.69	552	126	9219	20	5.139	162	127	12	1828
20	5.46	595	123	1991	20	28.5	457	127	9219	21	38.79	181	129	12	1826
21	3.26	595	123	1991	21	18.2	357	127	9219	22	3.314	181	129	12	1826
22	5.37	962	124	1991	22	5.13	723	111	9278	23	7.362	385	132	134	1832
23	5.37	962	124	1991	23	4.99	723	111	9278	24	1.989	385	132	134	1832
24	6.81	295	127	1994	24	4.224	379	116	9278	25	4.224	379	116	9278	

AN = NUMBER OF PLATES TESTED; CU = COUNT OF AREA; TN = TOTAL NUMBER OF TURBID PLATES; CFU = COUNT OF CULTIVATED AREA; N = NUMBER OF MUSSELS TESTED; M = MEAN; SD = STANDARD DEVIATION; SE = STANDARD ERROR OF MEAN; SE/SD = COEFFICIENT OF VARIATION; SP = SUPERIOR PLATE; VALUE = MEAN OF TESTED MUSSELS TESTED.

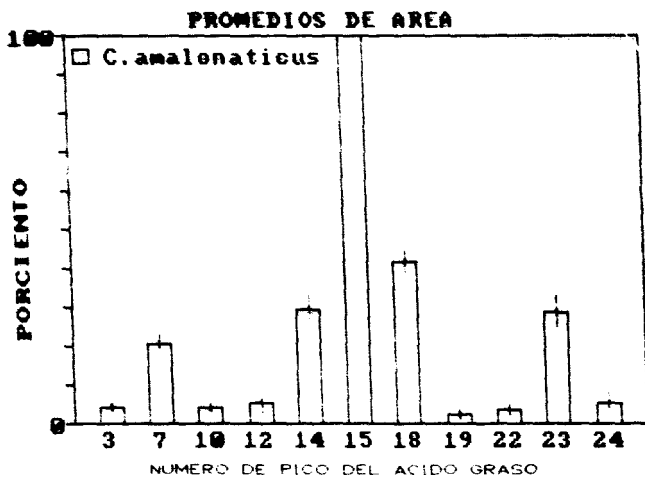


FIGURA 1. ESTIMACIONES DE LOS PROMEDIOS DE AREA EN EL
ACIDO GRASO DE C. amalenaticus, EN LA MITAD DEL AREA
DE SEPARACION, PARA LOS DIFERENTES NUMEROS CARBONATRICULARES.

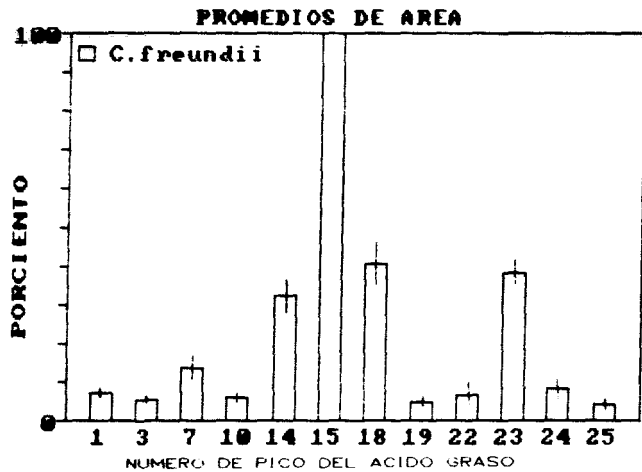


FIGURA 2. AREA DE LOS PICOS DE C. freundii EN EL SPECTRO DE LOS PUEBLOS DE LA MEXICANA DE LA MEXICANA DEL RÍO DEL AGUA
APROXIMADAMENTE A ESTA FECHA.

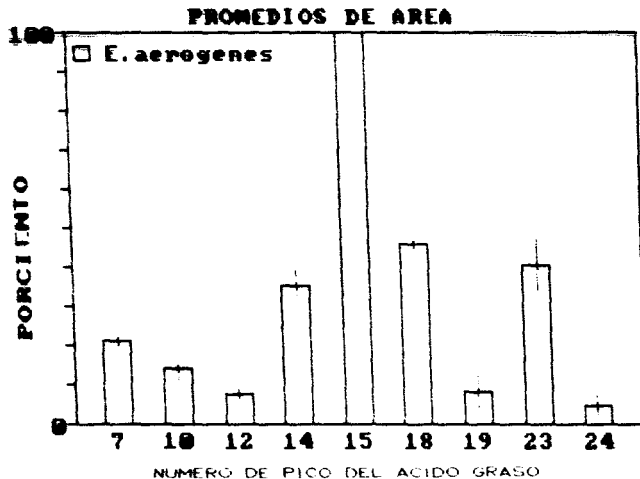


FIGURA 1. - AREA DE LOS PICOES DE LOS ACIDOS GRASOS EN E. AEROCOGENES. SE PUEDE VER QUE EL PICO DE MAYOR AREA ES EL NÚMERO 15.

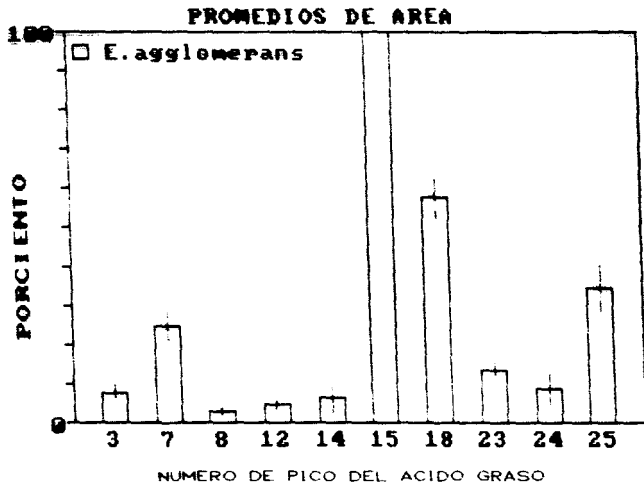


FIGURA 4. AREA DE LOS PICOS DE LOS ACIDOS GRASOS EN EL AREA TOTAL DE LOS ACIDOS GRASOS EN E. agglomerans. ESTA FIGURA MUESTRA LA MEDIA DEL AREA DEL PICO DE CADA UNO DE LOS ACIDOS GRASOS EN E. agglomerans.

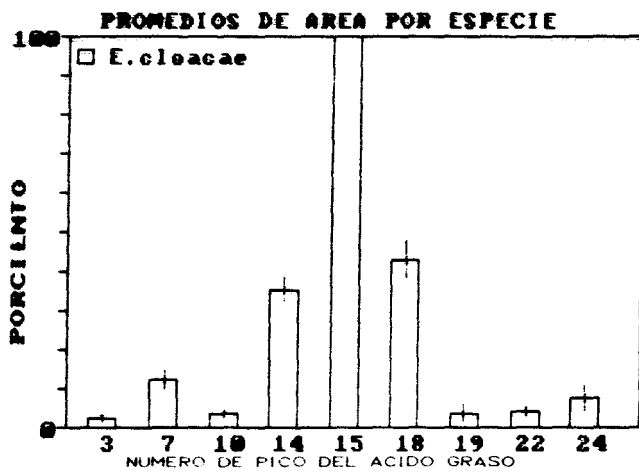


FIGURA 4. PROMEDIOS DE AREA DE LOS PICOS DE LOS ACIDOS GRASOS EN E. cleaceae. (EL PAREA DE LOS PICOS SE EXPRESA EN UNA ESCALA DE 0 A 100% DEL PAREA TOTAL DE LA CURVA MEDIDA CON EL METODO DE FIDUCIAS AL 95% PARA LOS DIFERENTES PUNTOS DE REFERENCIA).

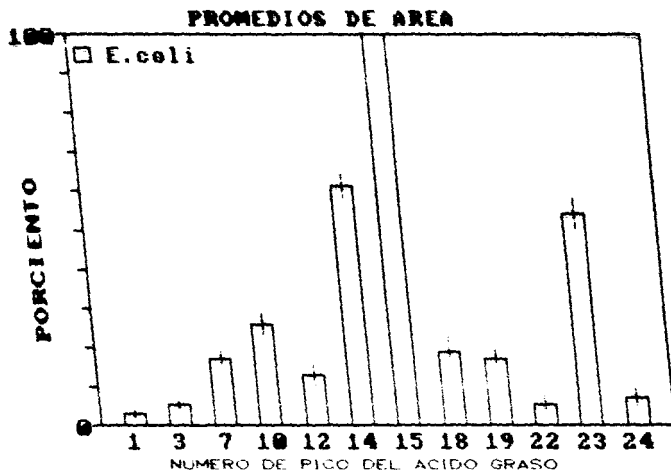


Figura 8. Se presentan los promedios de la área de los picos de los ácidos grasos en el aceite de la leche de vaca con el fin de establecer la relación entre la actividad de la leche y el número de pico del ácido.

Para el *Escherichia coli*, las especies que tienen la mayor cantidad de ácidos grasos son: *Citole*, *Citole* y *Ciclico* 9, 10 (figura 1).

En *Enterobacter freundii* la constitución de ácidos grados es: *Citole*, *Citole* y *Citole*, *Citole*, *Citole*, *Citole*, *Citole*, *Citole*, *Citole*, *Citole* y *Citole* (figura 2).

Enterobacter aerogenes presenta los siguientes ácidos grados: *Citole*, *Citole* y *Citole* (figura 3).

Enterobacter agglomerans tiene los ácidos grados como sigue: *Citole*, *Citole* y *Citole* (figura 4).

Enterobacter cloacae tiene los siguientes ácidos grados: *Citole*, *Citole* y *Citole* (figura 5).

Escherichia coli presenta la constitución de ácidos grados de la siguiente manera: *Citole*, *Citole* y *Citole* (figura 6).

La figura 7, se señala la media aritmética del área del pico del ácido graso en todas las especies analizadas, lo que permite una comparación simultánea de los 6 períodos chromatográficos por especie y de la abundancia de cada ácido graso en porcentaje para las 6 especies. Los períodos de los ácidos grados en porcentaje para las seis especies son: el pico 15, 18, 22, 14 y 7. A nivel de especie, las cuatro especies más bajas de los ácidos grados están en *E. cloacae* y *E. agglomerans*, en un nivel intermedio encontramos a *E. aerogenes* y *E. cloacae* y *E. freundii*, con la constitución más abundante. En su porcentaje de ácidos grados está *E. coli*, el ácido 14 meritiene predominio y el ácido undecanoico, son los menos frecuentes y menos abundantes en las seis especies.

La figura 8 muestra la relación que existe entre las 6 especies de enterobacterias con el criterio de presencia o ausencia de los ácidos grados, con un coeficiente de correlación para variables dicotómicas. *E. coli* y *E. freundii* presentan el grupo con mayor similitud y con este grupo se relaciona con *E. cloacae* y *E. aerogenes*. *E. cloacae* y *E. agglomerans* se une a las cuatro especies anteriores con una similitud de 0.88 y *E. aerogenes* tiene la menor similitud. *E. coli* aparece como la especie menos relacionada con las cinco anteriores respecto a los ácidos grados celulares identificados en este trabajo.

En la figura 9 se muestra el dendrograma que señala la relación existente entre las 6 especies bacterianas, basado en el coeficiente de correlación de Pearson, en él se formaron cuatro grupos, tres de ellos constan de una sola especie (*E. agglomerans*, *E. cloacae* y *E. coli*). El grupo con mayor asociación es el de *E. agglomerans* y *E. freundii* y *E. aerogenes*, de ésta forma *E. aerogenes* guarda más relación con el grupo de *enterobacter* que con

PROMEDIOS DE AREA DEL ACIDO GRASO

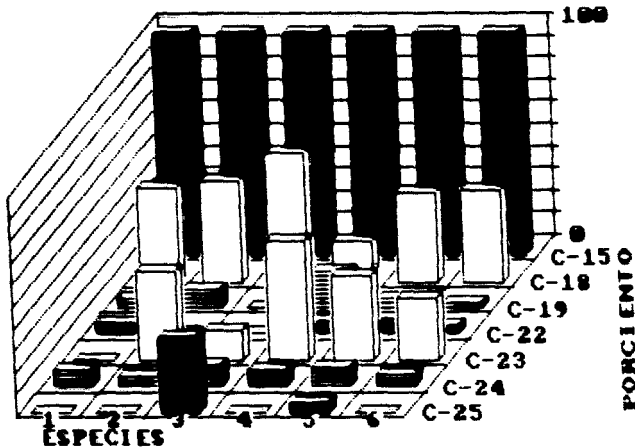


FIGURA 1. ESTIMACIONES DE LOS PROMEDIOS DE AREA DEL ACIDO GRASO EN DIFERENTES ESPECIES DE PECES DE LA ZONA DE INFLUENCIA DEL RIO PARAGUAY.

1 = P. maculatus; 2 = P. maculatus; 3 = P. maculatus; 4 = P. maculatus; 5 = P. maculatus; 6 = P. maculatus.

PROMEDIOS DE ÁREA DEL ACTO GRASO

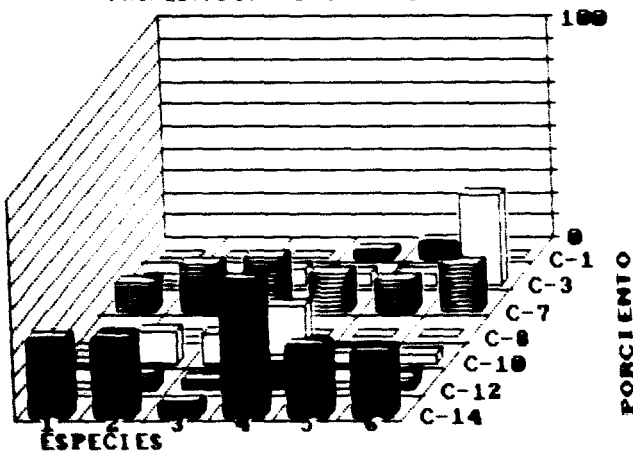


FIGURA 4. ESTIMACIÓN DE LOS PROMEDIOS DE ÁREA DEL ACTO GRASO EN VARIAS ESPECIES DE RODENTES.

1 = Es el resultado estimado de la estimación individual en el grupo de control. 2 = El resultado estimado de la estimación individual en el grupo de animales tratados con 200 mg/kg de cloruro de zinc.

Figure 2. Dendrogram of the data.

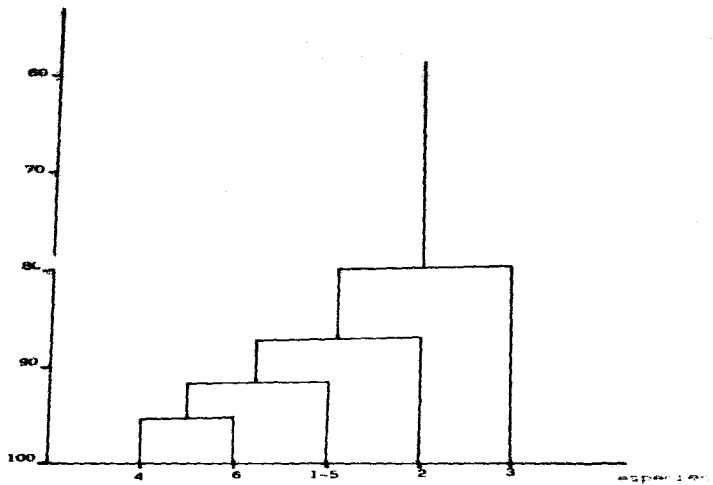


Figure 2 shows the dendrogram of the data. The specimen numbers on the x-axis are 4, 6, 1-5, 2, and 3. The y-axis represents distance from 0 to 100. The dendrogram shows that specimens 4 and 6 form a cluster at a distance of approximately 15, which then merges with specimens 1-5 at a distance of approximately 30. This cluster merges with specimen 2 at a distance of approximately 55, and finally merges with specimen 3 at a distance of approximately 85.

The results of the hierarchical clustering analysis are shown in Table 2. The data points are clustered into three groups. Group A contains specimens 4, 6, 1-5, and 2. Group B contains specimen 3. Group C contains no specimens.

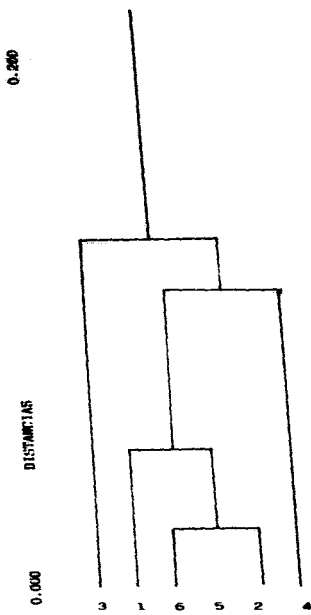


FIGURA 4. DENDROGRAMA QUE ILUSTRAN EL PÁRATICO DE LA RELACION EXISTENTE ENTRE LOS SEIS REPARTOS BENTOPELÁGICAS, BASADO EN EL COEFICIENTE DE CORRELACION DE PEARSON.

1 = EUTELEOSTEOPTEROS; 2 = BREVIBRANCHIOPHOROS; 3 = EULYCOPTEROS; 4 = AGONIDIOS; 5 = BENTOPELÁGICOS; 6 = BENTOPELÁGICOS; 7 = BENTOPELÁGICOS.

las otras dos especies de Enterobacter. *E. aerogenes* se agrupa con las especies anteriores con una asociación menor (-0.63). *E. coli* y *E. coli-mutans* son las dos especies con el mayor valor y por lo tanto con la menor asociación ($+0.13$ y $+0.14$) con base en los valores de las áreas de los picos de los ácidos grasos. Es interesante observar que *E. coli-mutans* vuelve a segregarse como en el caso del análisis de presencia o ausencia.

La relación existente entre las seis especies bacterianas de acuerdo al análisis de conglomerados por distancias Euclidianas, se presenta en la figura 1; se forman cinco grupos de las seis especies analizadas. *E. freundii* y *E. amoenaustralis* presentan la menor distancia (-0.5) y con ello la mayor asociación de acuerdo al área de los picos de sus ácidos grasos. *E. aerogenes* se une con ambas especies a una distancia mayor (-4%) y presenta el mismo tipo de agrupamiento que en el análisis de correlación. *E. coli* y *E. coli-mutans* se agrupan con un valor aproximado de 8% , finalmente *E. aerogenes* y *E. coli* tienen la mayor distancia (12.5 y 13.0 respectivamente) y la menor asociación con los tres grupos anteriores.

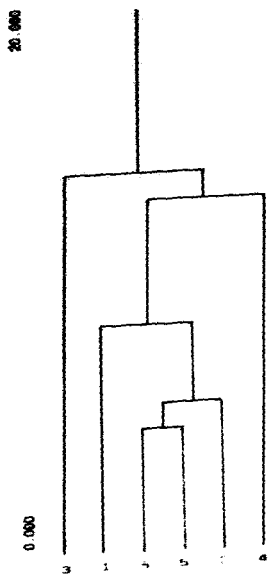


FIGURE 2. MEAN LEVEL OF ACTIVITY FOR THE LADIES IN THE EIGHT GROUPS. THE HIGHEST LEVEL OF ACTIVITY WAS FOUND IN THE GROUPS WITH THE LOWEST NUMBER OF CHILDREN AND THE LOWEST NUMBER OF PREGNANCIES. THE HIGHEST LEVEL OF ACTIVITY WAS FOUND IN THE GROUPS WITH THE HIGHEST NUMBER OF CHILDREN AND THE HIGHEST NUMBER OF PREGNANCIES.

DISCUSION

La tabla # 8 establece la ocurrencia de 14 picos de ácidos grasos celulares en las 6 especies de la familia Enterobacteriaceae, para todos los picos, el tipo de ácido graso es una cadena de carbonos lineal saturada. Los ácidos laurico (C_{12} -dodecanoico), mirístico (C_{14} -tetradecanoico), palmitico (C_{16} -hexadecanoico) y estearico (C_{18} -octadecanoico), han sido establecidos como característicos de la Familia Enterobacteriaceae en varios trabajos que analizan lípidos previamente extraídos y metilados con metilato de sodio e hidrolizados con ácido clorhídrico, y extraído con hexano (C_6 , C_{10} , C_{12} , C_{14} , C_{16} , C_{18}), lo que coincide con este estudio. Otros autores (17, 18, 19, 20, 21), efectúan la esterificación con trifluoruro de boro, pero este método requiere cuidadosamente el relleno. Además no presenta mucha efectividad en la recuperación de hidrocarburos y los ácidos grasos octa- ω -propionicos presentan una conversión a ésteres metoximetilicos; este efecto se reduce al trabajar en tubos cerrados y licuificadas bajo hidrógeno, ya que la presencia de aire o humedad produce interferencias parciales que indican destrucción de ácidos grasos propionicos. Por desgracia hasta donde se sabe no existen trabajos que comparan y determinen la eficacia de los diferentes métodos de esterificación y extracción, lo que limita de esta manera la utilidad crítica del método de análisis lipídico como herramienta para la identificación en bacterias y por ende su estandarización.

La presencia de metilicos, hidroxilicos, isomerizaciones y de cadenas de ácidos ω -capropanicos que se mencionaron, es aún distinta de los trabajos que incluyen la presencia a nivel de Familia y muchas veces a nivel genérico. La tabla # 8 presenta la ocurrencia de los tipos de ácidos antes citados para la Familia Enterobacteriaceae en los picos 8, 10, 14, 18, 20 y 24. Su ocurrencia general se inscribe más adelante. La ausencia de cadenas ramificadas, polinsaturadas y oxigenadas para la Familia Enterobacteriaceae viene especial para las 6 especies analizadas en este estudio. Tendremos que ver trabajos de B. et al (22) y de Gethin et al (23) para más.

Para *Escherichia coli* (24), el pico de mayor área es el 15 que corresponde a C_{10} -hexadecanoico y que ha sido identificado por Boe y Gyerdet (25) y que define a la Familia Enterobacteriaceae. El pico 18 (no heptadecanoico), el pico 23 (C_{16} -octadecanoico), el pico 14 (C_{12} -dodecanoico) y el pico 7 (C_{14} -tetradecanoico), representan los picos de mayor área y por lo mismo de mayor abundancia y sirven como elementos que definen a esta especie, tabla # 10a y figura 1.

En *Enterobacter cloacae* se señal que en *E. cloacae* el ácido palmitico define a la familia dentro de la Familia Enterobacteriaceae, aquí también el genérico para permitir por los picos 7, 14, 18 y 23 las diferencias que permiten separar ambas especies son la presencia del pico 1 en *E. cloacae*, la presencia del pico 18 en *E. cloacae* y la presencia del ácido graso 26 en *E. cloacae*. Tabla # 10b y figura 2.

Al presentar *Enterobacter aerogenes* el ácido palmitico como el pico con mayor área, le permite estar incluido en la familia

Entre bacterias, los picos de los ácidos grasos con mayor peso son el 7, 10, 14, 18, 23. A diferencia de *S. enterobactericus* y *S. freundii*, *S. albuscens* presenta el pico 10 como característico (Tabla 8 y figura 4).

Entre bacterias, aquellas que tienen el acido palmitico decanoico como pico diferencial, el pico del ácido 16 es característico de la familia Enterobacteriaceas, siendo los más abundantes el 7, 18, 19, 28. Aun así, el 16 es referencia esta especie de las cinco restantes (Tablas 8 y figura 4).

Para Enterobacteriaceas, el acido palmito es la única en la Familia Enterobacteriaceas los picos de mayor abundancia son el 14, 18 (Tabla 8 y figura 4).

Escherichia coli tiene el acido palmitico como el pico mas abundante, característico de la Familia Enterobacteriaceas, esta especie presenta el perfil de ácidos grasos mas diverso, este perfil es igual a los determinados en los trabajos de Abel y colaboradores (19).

Cecchini y O'Brien (19), Heins, et al (1960), Hausler y Richter (1971), Lechner (1971), Mc Farren y Armstrong (1941) y Sinensky (1970) los picos de mayor abundancia son el 7, 10, 12, 14, 18, 19 y 23. Es de las especies analizadas, la única de la que se conoce su constitución cuantitativa a nivel de los esteres metílicos y los ácidos grasos individuales. Estas en la literatura y es por decirlo, el punto de referencia de la Familia Enterobacteriaceas. Tabla 9 y figura 5.

A nivel del análisis cuantitativo, las 6 especies estudiadas pertenecen a la misma Familia, al presentar el acido palmitico como el componente con las mayores y abundancia, tanto cual con base en el análisis de los ácidos grasos. Podemos asegurar que su ubicación a este nivel es correcta. Los ácidos grasos de las cinco primeras especies, hasta donde se sabe, es la primera vez que se determinan, ya que no existe en la literatura ninguna referencia de ellas. Para *E. coli*, las determinaciones se concuerdan casi totalmente con las obtenidas por los autores anteriores citados, las diferencias son en la presencia de los picos 9, 10 y 18, así como la ausencia de la formación de un anillo ciclopentano en C10 y los valores un poco mas superiores en el area del pico C10. Si en el Acido graso este, pueden explicarse a partir del tipo de columna empleada, el tiempo de uso de la misma, marca, tipo de agujas empleadas en el análisis, tanto de la muestra bacteriana en el caso se realiza el análisis centrifugacion líquidación y separación líquida en la ultracentrifugación. Estas factores son de extrema importancia en los trabajos mencionados en la bibliografía.

Por lo que respecta al análisis cuantitativo, la Tabla 10 muestra el procedimiento de la composición de los ácidos grasos con su desviación estándar (D.S.) en las 6 especies estudiadas, los coeficientes de variación (CV) se dan para cada pico del acido graso. En general el acido palmitico caracteriza a las 6 especies dentro de la Familia Enterobacteriaceas, es el pico en frecuencia y cantidad mas constante. En particular para el género *Enterobacter*, el acido graso mas abundante es el heptadecanoico y presenta el CV mas pequeño en las tres especies y define al

genero. Para *E. cloacae* figura 5, el acido Cis-9-hexadecanoico define la especie, es un acido graso muy constante ya que presenta un area promedio de 35 y una DS de 4.85 y un CV de 13% en *E. cloacae*; figura 3, el acido estearico tiene un area promedio de 40.3 y define la especie, presenta una DS de 10.2 y un CV de 25%. En *Espholomelana*, figura 4, el acido nonadecanoico es caracteristico de la especie con un area promedio de 34.76, DS de 15.45 y CV de 44%. *Bacillus* figura 6, tiene como acidos grasos mas abundantes y constantes el Cis-9-hexadecanoico y el acido estearico con un area de 61.8 y 53.9 respectivamente, una DS de 4.91 y 4.87 y un CV de 7% y 6.6% respectivamente. En las 6 especies analizadas, *E. coli* presenta a nivel de areas de los picos y tiempos de retencion, los mas altos valores de DS, lo cual indica que esta bacteria representa un excelente material experimental por lo que respecta al analisis lipídico por Cromatografía de gases, pues muestra una alta estabilidad de un análisis a otro. Esta propiedad puede ser aprovechada para emplear a analizar el efecto de las variables experimentales, que pueden cambiar cualitativa y cuantitativamente los picos de los materiales en las bacterias entericas.

El genero *Espholomelana* presenta al igual que *Enterobacter*, como acido graso mas abundante el hexadecanoico, pero en este ultimo genero tiene una mayor estabilidad y constancia con valores de area superiores a 40 mm², mientras que otras bacterias tienen gran abundancia del acido Cis-9-hexadecanoico, presentando por tanto, la siguiente: el acido estearico tiene mayor area que el que tiene en el análisis estadístico descriptivo, es posible ubicar las 6 especies analizadas de una forma directa en la figura general de especies, según se presenten sobre el apuntamiento en los valores de la figura y la magnitud que de las 6 especies. *E. coli* presenta la mayor cantidad de acidos grasos, con los mayores valores de area y los tiempos de retención mas constantes, se establece en esta forma su valor como material experimental en estos estudios. Las especies que mas se aproximan a *E. coli* en estabilidad de los acidos grasos y estabilidad en el análisis estadístico son *E. leutinellae* y *C. freundii*, pero con valores de area menor y CV mas altos en general. El grupo *Espholomelana* presenta entre 9 y 10 acidos grasos que definen su perfil cromatográfico, a diferencia de *E. coli* que presenta 12 acidos grasos y *Enterobacter* que tiene de 11 a 12 tipos diferentes. Esto puede indicarnos la mayor diversidad en la estructura lipídica de *E. coli* en segundo lugar de *E. freundii*.

Los acidos grasos mas abundantes en las 6 especies aquí analizadas son C15, C18, C14 y C16, los de abundancia intermedia son C10, C19, C119 y C24, los de abundancia menor son C11, C9, C12, C22 y C25.

En la actualidad, se realizan investigaciones en nuestro laboratorio, respecto a la influencia de la variación de los medios de cultivo en el perfil de los acidos grasos de cinco especies de *Espholomelana*, tres especies de *Enterobacter*, y cuatro especies de *Clostridium*; en especial se usa el agar nutritivo CANI, agar infusión cerebro corazón (BHI), medio de levadura, peptona y glucosa (TPG), y medio mineral. Los resultados preliminares parecen indicar que un medio enriquecido como el BHI provoca una mayor diversidad de los acidos grasos, así como un

incremento en su area o medias mínimas como el mineral reducen la diversidad y área de los picos de los ácidos grasos.

En dos trabajos de tesis, se está analizando la influencia de la temperatura y de la concentración de sales en el medio, sobre la composición de ácidos grasos celulares en cinco especies de *Microbacterium* y se ha determinado de forma preliminar que temperaturas en el intervalo de 30°C a 34°C causan una menor proporción de ácidos grasos insaturados y aumenta la cantidad de ácidos saturados; al bajar la temperatura en un intervalo de 30°C a 24°C, la cantidad de ácidos grasos monoinsaturados se incrementa. Respecto a la concentración de sales en el medio, se incrementan los ácidos grasos ω -10 propionicos en una relación directamente proporcional al incremento de sales y decrece la cantidad de ácidos grasos monoinsaturados. Lo anterior nos lleva a elaborar la hipótesis de que estos factores pueden activar o inhibir sistemas enzimáticos a nivel lipídico.

Para llegar a determinar las posibles sustancias en el análisis de lípidos, que se compone a las pruebas de rutina en el proceso de identificación y clasificación de bacterias, se deben analizar todos los factores que afectan el crecimiento en bacterias y tienen influencia en su composición lipídica como nutrientes, concentración de sales, temperatura, pH, temperatura, aeration, fuerza iónica y resistencia óptima, que limita en la actividad de la actividad del cultivo para ser usado de igual manera en todos los laboratorios que se dedican a la taxonomía de bacterias por determinación de ácidos grasos celulares, mediante cromatografía de gas-líquido, es que dichas investigaciones se están iniciando y los resultados no llegan aun a ser homogéneos (11 y 12, 13, 14, 15, 16, 17, 18, 19).

Respecto a la presencia o ausencia de los 14 picos de los esterios metilicos de los ácidos grasos en las seis especies, encontramos que los picos 1, 2, 4, 5, 6, 7, 10, 11, 12, 13 y 14 son los que presentan variación en su intensidad. Los restantes 8 picos están presentes en las seis especies con base en la figura 4 se establece la posible relación entre las seis especies mostradas en la figura 8, así en *E. coli* y *E. freundii* se encuentran relacionadas con un índice de 0.95, el segundo grupo formado por *B. subtilis* y *C. macerans* presenta una relación de 0.85, finalmente *B. agri*, *B. vulgaris* y *B. algicida* se relacionan con un índice de 0.80 respectivamente. Esta relación sólo denota criterios cualitativos de presencia o ausencia, pero en ningún momento evalua las áreas de los picos de los ácidos grasos, es así que las relaciones generadas por esta técnica, implican géneros diferentes y especies del mismo género, puesto que en otros sistemas como es el caso de *Bacillus* (*sp.*) *halophilus*, *halobacterium* y *halobacterium* que se relacionan entre sí con superiores a 0.90 de similitud, en el caso de *B. cereus* y *B. subtilis* no relacionan con un 0.70 de similitud, lo esto se desprende que la sola caracterización cualitativa de los ácidos grasos por bacterias con el fin de encuadrar taxonómicas las especies, se debe manejar con cierto cuidado ya que la mayoría de los ácidos es mejor resultar a un análisis en el que a cada ácido graso del perfil cromatográfico se le asigne su abundancia relativa, en términos de su área normalizada, de lo contrario se puede llegar a la conclusión de que *B. subtilis* y *E. freundii* son las especies más

relacionadas ya que a nivel cualitativo, sus perfiles solo difieren en dos ácidos grasos.

En los dendrogramas, figura 9 y 10, se encuentra el mismo tipo de asociación, lo que indica una constancia en el agrupamiento de las seis especies, al aplicar los índices de asociación en los que se tomo en cuenta el área normalizada de los ácidos grasos.

Así el *Bacillus* y el *Enterobacter* quedan bien definidas como especies más cercanas entre sí, el tipo de *Enterobacter*, es el que presenta a nivel de lípidos, metabólos diferentes grados de asociación y las 3 especies se están intimamente asociadas como en el caso de *Enterobacter*. En la literatura (16, 41, 178), se menciona que *Salinibacillus* que es la especie tipo, las otras dos aun presentan problemas en su ubicación taxonómica ya que para su identificación se recurre a reacciones metabólicas en medios diferenciales, esta probable identificación preliminar debe complementarse con pruebas de estructura antigenica. Sin embargo, diversas cepas de *Enterobacter* poseen la misma actividad antigenica pero tienen variaciones metabólicas distintas. Por otra parte este tipo de bacterias producen una amplia variedad de recombinantes que se refleja en patrones superpuestos de metabolismo y antigenicidad. Cabe la posibilidad que el crecimiento antes descrito pueda alterar la composición de ácidos grasos, lo cual se intentara probar en nuestros laboratorios en un futuro cercano. Sin embargo, los trabajos recientes sostienen la hipótesis de que la estructura lipídica en bacterias, es lo bastante estable como para no poder ser alterada por los procesos antes descritos (41, 178, 180, 184).

Cabe concluir que a diferencia de *Enterobacter*, *Enterobacter* es un grupo heterogéneo en lo que respecta a la abundancia de los ácidos grasos celulares. El cual queda bien definido y se separa como un grupo diferente de *Enterobacter*.

CONCLUSIONES

II.- El análisis de los ésteres metílicos de los ácidos grasos celulares en bacterias, por el método de cromatografía de gas líquido, puede ser considerado como uno de los métodos más rápidos, altamente reproducibles y menos alterables, cuyos resultados son numéricamente procesados tanto a nivel de identificación como clasificación, con la restricción de que las condiciones de cultivo bacteriano y proceso chromatográfico deben estandarizarse.

III.- El análisis de los lípidos bacterianos en este trabajo, no solo tienen su aplicación en el área quimiotaxonómica, sino también representan hasta donde sabemos, el primer trabajo que pone de manifiesto la composición de los metil ésteres de los ácidos grasos celulares, en estas seis especies de enterobacterias, contribuye al conocimiento de la composición de la flora bacteriana a nivel bacteriología.

III.- Los resultados de este estudio muestran que las seis especies de enterobacterias contienen sólo ácidos grasos de cadena de carbonos lineal saturada para la familia Enterobacteriaceae, el ácido palmitico ($C_{16:0}$) es el de mayor abundancia. Esta característica bioquímica distingue a las seis especies entre análisis de otras bacterias gram negativas como *Escherichia coli*, *Agrobacterium tumefaciens*, *Enterobacter*, *Acinetobacter*, *Leptospira* y *Vibrio*, por lo que algunas de éstas puede ser usadas como un medio cualitativamente exacto para identificar a la familia Enterobacteriaceae. A nivel específico los cuatro ácidos grasos de mayor peso son: el ácido heptadecanoico, el ácido esteárico, el ácido isooctadecanoico y el ácido mirístico, y teóricamente pueden ser los ácidos grasos que definan el nivel específico de los seis organismos estudiados.

IV.- En base en la similitud de los perfiles de los ácidos grasos celulares, parece existir una relación muy cercana entre *Enterobacter amoenus* y *E. tumefaciens*. Para el grupo de Enterobacteriaceae *E. amoenus* muestra una relación con *E. aerogenes* y *E. cloacae*, se establece una diferencia en la composición de los ácidos grasos celulares, la composición en enterobacterias de los ácidos grasos es altamente específica, los análisis cualitativos y cuantitativos pueden ser adaptados en laboratorios clínicos y pueden ser un criterio adicional muy valioso para la diferenciación de especies estrechamente relacionadas, y servir como un método rápido y altamente reproducible para rutinas de identificación a nivel clínico-sanitario, alimenticio y biotecnológico.

BIBLIOGRAFIA

- 1 - Abel, E. H. de Schmerling, M. J. I. Peterson. 1963. Classification of microorganisms by analysis of chemical composition. I. Feasibility of utilizing gas chromatography. *J. Bacteriol.* 85(1):1-44.
- 2 - Alexander, A. D., E. F. Cessell, L. B. Evans, E. Frank, S. S. Green. 1972. Preservation by liquid nitrogen refrigeration. *Int'l. J. Syst. Bacteriol.* 22:165-169.
- 3 - American Type Culture Collection ATCC. 1982. Catalogue of strains.
- 4 - Amstelien, G. F. v. P. A. Hartman. 1973. Differentiation of some enterobacteria by gas chromatography. *J. Bacteriol.* 115:39-41.
- 5 - Bailey, N. J. T. ed. 1961. Statistical methods in biology. 2 ed., Hodder and Stoughton Ltd., London.
- 6 - Bascom, J. 1961. Application of automation to the general and specific identification of bacteria. *Adv. Microbiol.* 2:1-40.
- 7 - Béter, B. v. W. Verstege. 1966. Fatty acid patterns in the classification of some representative of the Families Enterobacteriaceae and Vibrionaceae. *J. Gen. Microbiol.* 46:41-48.
- 8 - Bouafia, I. T. A. S. Gandy, T. R. Gandy, V. S. Webb. 1969. Numerical analysis of fatty acid profiles in the identification of *Escherichia coli*, *Salmonella*, *Shigella* and some other bacteria. *J. Gen. Microbiol.* 53:479-484.
- 9 - Brian, B. L. v. E. W. Gardner. 1967. Preparation of bacterial fatty acid methyl esters for rapid characterization by gas liquid chromatography. *Appl. Microbiol.* 15:149-153.
- 10 - Brian, B. L. v. E. W. Gardner. 1968. A simple procedure for detecting the presence of cyclopropane fatty acids in bacterial lipids. *Appl. Microbiol.* 16:549-556.
- 11 - Canevali, F. F. v. M. A. Pisani. 1988. Gas-liquid chromatographic analysis of fatty acid methyl esters of *Aeromonas hydrophila*, *Aeromonas sobria* and *Aeromonas liquefaciens*. *J. Appl. Microbiol.* 64:681-686.
- 12 - Lechner, A. L. v. P. T. Peterson. 1969. Detection of *Escherichia coli* by gas chromatography. *J. Bact.* 95:1205-1206.
- 13 - Johnson, B. H. Iaisanai, S. Chiray, v. I. Phillips. 1989. A qualitative and quantitative study of cellular fatty acids of *Streptococcus faecalis* with capillary gas chromatography. *J. Gen. Microbiol.* 135:891-898.
- 14 - O'Bryan, J. E., Jr. 1976. Thermal regulation of the membrane lipid composition of *Escherichia coli* *et al.* *Biochim. Biophys. Acta* 4074-4077.

- 16 - Davis, J.P., C.E. Stager, P.D. Wende, y S.M. Hussain Qadri. 1981. Clinical laboratory evaluation of the automatic biochemical system Enterobacteriaceae biochemical card. J. Clin. Microbiol. **14**: 371-376.
- 16 - Dees, S.B., D.G. Hollis, R.E. Weaver, y C.W. Moss. 1983. Cellular fatty acid composition of Escherichia, Escherichia marginata and closely associated bacteria. J. Clin. Microbiol. **16**: 1073-1078.
- 17 - Dees, S.B., y C.W. Moss. 1978. Cellular fatty acids of Alcaligenes and Escherichia species isolated from clinical specimens. J. Clin. Microbiol. **12**: 414-419.
- 18 - Dees, S.B., y C.W. Moss. 1978. Identification of Achromobacter species by cellular fatty acids and by production of keto acids. J. Clin. Microbiol. **16**: 1079-1082.
- 19 - Drucker, L.B. 1974. Chromatographic fatty acid fingerprints. Adv. in Microbiol. **17**: 171-212.
- 20 - Drucker, L.B. 1981. Analysis and structural components of microorganisms by gas chromatography, p. 166-181. In D.B. Drucker (ed.), Microbiological applications of gas chromatography. Cambridge University Press, Cambridge.
- 21 - Drucker, L.B. 1981. Computation of gas chromatographic data, p. 400-423. In D.B. Drucker (ed.), Microbiological applications of gas chromatography. Cambridge University Press, Cambridge.
- 22 - Drucker, L.B. y T. Nishii. 1974. Chromatographic fatty acid fingerprints of Enterobacter growth with and without aeration. J. Gen. Microbiol. **81**: 247-256.
- 23 - Edwards, P.F., y W.H. Ewing. 1960. Identification of Enterobacteriaceae. 2nd ed. Burgess Publishing Co., Minneapolis, Minn.
- 24 - Eerola, E., y J.R. Lentonen. 1988. Optimal data processing procedure for aromatic bacterial identification by gas-liquid chromatography of cellular fatty acids. J. Clin. Microbiol. **21**: 1745-1753.
- 25 - Farmer III, J.T., H.P. Davis, F.W. Hickman, A. Mc Whorter, C. Ellsworth, K. Fanning, A.J. Steinigerwall, C.M. O'Hara, G.V. Smith y L.J. Brenner. 1988. Biochemical identification of new species and biogroups of Enterobacteriaceae isolated from clinical specimens. J. Clin. Microbiol. **21**: 40-50.
- 26 - Folch, J., M. Loes, y D.G.H. Sloan-Stanley. 1957. A simple method for the isolation and purification of total lipids from animal tissues. J. Biol. Chem. **226**: 497-504.
- 27 - Gehrke, C.W. y D.F. Goerlitz. 1963. Quantitative preparation of methyl esters of fatty acids for gas chromatography. Analyt. Chem. **35**: 76-80.

- 28 - Gill, C.O. y J.P. Sustied. 1978. The effects of temperature and growth rate on the proportion of unsaturated fatty acids in bacterial lipids. *J. Appl. Microbiol.* 35:945-950.
- 29 - Gonzalez, A.H. 1987. Fundamentos teóricos y principios de la cromatografía en fase de vapor. Proyecto de Conservación y Mejoramiento del Ambiente (CIVMA). ENER, Iztacala, UNAM, México. (Publicación de distribución restringida).
- 30 - Goodfellow, M. y Minnitin, D.E. 1987. Microbial Systematic Classification and Identification. Academic Press, London.
- 31 - Goodfellow, M. y Minnitin, D.E. 1985. Introduction to chemosystematics in Chemical Methods in Bacterial Systematics, p. 1-15. Edited by M. Goodfellow & D.E. Minnitin. London & New York. Academic Press.
- 32 - Greenwood, S.A., W. H. Connell, R.K. Mc Culloch, J.W. McCullough, R. Holt, M.A. Brindley, V. M. Husper. 1989. Cellular fatty acid composition of campylobacter species from primates and ferrets compared with those of other campylobacters. *J. Appl. Microbiol.* 56:939-943.
- 33 - Hedges, P.J., J.M.A. Lamberti, y J.W. Moss. 1982. Analysis of short chain acids from anaerobic bacteria by high performance liquid chromatography. *J. Appl. Microbiol.* 53:498-502.
- 34 - Parr, M.I. y A.I. James. 1980. Fatty acids, p. 18-88. In Lipid biochemistry and introduction. Chapman & Hall, New York.
- 35 - Haasler, J. 1987. Determination of the organic acids content by gas chromatography as a rapid and accurate identification method for bacteria. V. Cursillo Simposio International sobre Biología de la Contaminación. Memorial, UNAM, SEDEU, UPRN, México.
- 36 - Haasler, J. 1987. Identification of indicators of fecal pollution by Enterobacteriaceae using gas chromatography. V. Cursillo Simposio International sobre Biología de la Contaminación. Memorial, UNAM, SEDEU, UPRN, México.
- 37 - Haasler, J. y Richter, V. 1984a. A process of identification microorganism using chromatography. UK Patent Application GB 2 121-444 A.
- 38 - Haasler, J. y Richter, V. 1984b. Identification of bacteria 12 the International Symposium on Microbial Association and Interaction in food. Publishing House of the Hungarian Academy of Sciences, Budapest.
- 39 - Heckly, P. 1981. Preservation of bacteria by lyophilization. Advances in *Appl. Microbiol.* 3 ed. by W. Umbreit. Academic Press.
- 40 - Henis, Y., J.P. Gould y M. Alexander. 1986. Detection and identification of bacteria by gas chromatography. *Appl. Microbiol.* 54:513-524.

- 41 - Holmes, B., W.R. Willcox, & S.P. Lapage. 1978. Identification of Enterobacteriaceae by the API 20E System. *J. Clin. Pathol.* **31**:222-30.
- 42 - James, A.T. & A.J. Martin. 1956. Gas-liquid chromatography: The separation and identification of the methyl esters of saturated and unsaturated acids from formic acid to n-octadecanoic acid. *Biochem. J.* **63**:144-156.
- 43 - Janzen, E. 1984. Analysis of cellular components in bacterial classification and diagnosis. p. 287-304. In G. Odham, L. Larson, and P.A. Marin (ed.), *Gas chromatography-mass spectrometry applications in microbiology*. Plenum Publishing Corp., New York.
- 44 - Janzen, E., K. Bergan, & K. Hovre. 1974. Gas chromatography of whole cell methanolysates. V. Fatty acids composition of *Neisseria* and *Moraxella*. *Acta Pathol. Microbiol. Scand.* **B3**:471-479.
- 45 - Janzen, E., K. Hovre, T. Bergan, & K. Hovre. 1975. Gas chromatography of whole cell methanolysates. VII. Fatty acid composition of *Aspergillus* in relation to the taxonomy of *Neisseriaceae*. *Acta Pathol. Microbiol. Scand.* **B3**:569-576.
- 46 - Kaneda, I. 1967. Fatty acids in the genus *Bacillus*. I. Isoprene anteiso fatty acids as characteristic constituents of lipid in 10 species. *J. Bacteriol.* **121**:604-614.
- 47 - Krieg, N.R. (ed.). 1984. *Bergey's Manual of Systematic Bacteriology*, 9th ed. Vol. 1,8. Williams & Wilkins.
- 48 - Lambert, M.A. & C.W. Moss. 1983. Composition of the effects of acid and base hydrolyses on hydroxy and cyclopropane fatty acids in bacteria. *J. Gen. Microbiol.* **129**:1301-1317.
- 49 - Lapage, S.P. & J.R. Shelton. 1970. Culture collection and the preservation of bacteria. In *Methods in Microbiology*. Edited by J.R. Norris and W. Ribbons. Academic Press.
- 50 - Lechevalier, M.P. 1982. Lipids in bacterial taxonomy. p. 460-509. In I. Laskin and H.A. Lechevalier (ed.) *CRC handbook of microbiology*, 2nd ed., Vol. 4. CRC Press, Inc., Boca Raton, Fla.
- 51 - Newman, J.S. & McBrian, K. 1974. Gas chromatographic test for coliform bacteria in water. *Appl. Microbiol.* **27**:584-588.
- 52 - Mayer, H. 1984. Significance of lipopolysaccharide structure for questions of taxonomy and phylogenetical relatedness of Gram-negative bacteria. p. 71-86. In E. Haber (ed.), *The cell membrane*. Plenum Publishing Corp., New York.
- 53 - Mc Cannell, P.N. 1976. The biological significance of alterations in the fatty acid composition of microbial membrane lipids in response to changes in environmental temperature. In *Extreme Environmental Mechanisms of Microbial Adaptation*. p. 255-281. Edited by H.F. Heinrich. New York, Academic Press.

54. Mc Gannivay, J. T. & Armstrong, J. B. 1981. The effect of temperature and other growth conditions on the fatty acid composition of *Escherichia coli*. *Can. J. Microbiol.* **27**:835-840.
55. Metcalfe, L.D., A.A. Schultz & J.R. Pecka. 1966. Rapid preparation of fatty acid esters from lipids for gas chromatographic analysis. *Analyt. Chem.* **38**:514-515.
56. Mitrakal, B.M. & M. Alexander. 1968. Rapid and sensitive detection of bacteria by gas chromatography. *Appl. Microbiol.* **16**:646-649.
57. Mitrakal, B.M. & A.M. Elias & P.S. Kondraga. 1973. Rapid differentiation of certain bacteria in mixed populations by gas-liquid chromatography. *Talanta* **20**:B104-B112.
58. Monteliusa-Carrasco, M. 1968. Bacterial fatty acid composition of *Leptospira holophilus*: effect of growth temperature and salt concentration. *C. R. Acad. Microbiol.* **194**:116-118.
59. Moss, C.W. & S.B. Dees. 1976. Identification of microorganisms by gas chromatograph-mass spectrometric analysis of cellular fatty acids. *J. Chromatogr.* **116**:595-604.
60. Moss, C.W. & S.B. Dees. 1976. Cellular fatty acids and metabolic products of *Pseudomonas* species obtained from clinical specimens. *J. Clin. Microbiol.* **4**:492-502.
61. Moss, C.W. & S.B. Dees, & J. B. Guerant. 1980. Gas-liquid chromatography of bacterial fatty acids with a fused-silica capillary column. *J. Clin. Microbiol.* **12**:128-133.
62. Moss, C.W. & Lambert, M.A. & Metherell, W.H. 1974. Comparison of rapid methods for analysis of bacterial fatty acids. *Appl. Microbiol.* **28**:91-96.
63. Moss, C.W. & C.L. Nunez-Montiel. 1982. Analysis of short-chain acids from bacteria by gas-liquid chromatography with a fused-silica capillary column. *J. Clin. Microbiol.* **15**:308-311.
64. Moss, C.W. & Shinoda, J.W. Samuels. 1982. Determination of cellular fatty acid compositions of various yeasts by gas-liquid chromatography. *J. Clin. Microbiol.* **16**:1073-1079.
65. Moss, C.W., P.J. Wallace, P.A. Hollis, & P.E. Weaver. 1988. Cultural and chemical characterization of IFO groups E-12, M-5, and M-6. *Methanococcus* species, *Micrococcus thermophilus*, *Archaeobacter* species, and *Desulfobacter amylolyticus*. *J. Clin. Microbiol.* **25**:494-498.
66. Pizzini, A.R., H. Korkeala, & I. Mononen. 1987. Gas chromatographic analysis of cellular fatty acids and neutral monosaccharides in the identification of lactic acid. *APPL. Environ. Microbiol.* **53**:2883-2888.
67. Purush, S.J., P.A. Granato, & R.L. Wasilenko. 1985. Glucosefermenting Gram-negative bacteria, p. 380-372. In E.H. Lenhoff, A. Balows, W. Hausler, Jr., & H. Shadomy (ed.),

- Manual of clinical microbiology. 4. ed. American Society for Microbiology, Washington, D.C.
- 68 - Schleifer, K.H., y E. Stackebrandt 1983 Molecular systematics of Prokaryotes *Ann. Rev. Microbiol.* 37:143-171.
- 69 - Shaw, N. 1974 Lipid composition as a guide to the classifications of bacteria *Advanced and Appl. Microbiol.* 15:63-198
- 70 - Simonsen, M. 1971 Temperature control of phospholipid biosynthesis in *Escherichia coli* in Bacteria *J. Bact.* 149:449-455
- 71 - Skerman, V.B.D., Mc Dowall, V. y Sheath, P.H.A. 1980 Approved list of bacterial names *J. Gen. Bacteriol.* 120:405-420
- 72 - Starr, M.P., H. Strohl, H.G. Trüper, A. Balows y G.H. Schlegel (editors) 1981 *The prokaryotes: A Handbook on habitats, isolation and identification of bacteria* Springer-Verlag
- 73 - Suzuki, K.I., y K. Nomagata 1983 Taxonomic significance of cellular fatty acid composition in some coryneform bacteria *Int. J. Syst. Bacteriol.* 33:189-200
- 74 - Tomabene, T.S. 1986 Lipid analysis and the relationship to chemotaxonomy *Meth. Microbiol.* 21:1539-1542
- 75 - Veys, A., W. Diallelaert, E. Waelkens y F.M. Abbeele 1989 Application of gas-liquid chromatography to the routine identification of nonfermenting Gram-negative bacteria in clinical specimens *J. Clin. Microbiol.* 21:1539-1542
- 76 - Zar, J.H. 1974 Biostatistical Analysis Prentice-Hall USA.

A P E N D I C E

EN ESTA SECCION SE INDICAN LOS RESULTADOS DE LOS ACIDOS GRASOS SOLUBLES EN ETEROPANTETRAS. LA SEPARACION FUE REALIZADA EN UNA COLUMNA CAPILAR DE STYLITE-PUNTEADA. LAS CONDICIONES FUERON DEJADAS EN METODOS.

161

> 1-2

3

> 4-5

6

7

> 8-9

> 10-11

12

> 13-14

15

> 16-17-18

> 19-20

> 21-22-2

24

25

26

27

28

OPCIONES PARA SEPARAR LOS VARIOS GRADOS DE TITANIO DE
ESTE MOLDE. EXPLICÓ LA SEPARACION FUE REALIZADA EN UNA COLUMNA
CONJUNTO DE ESTEREOFÍTICA. LOS PRODUCTOS FUERON DESCRITAS EN
DETALLE.

GROUP # 7

C-141-A7-14-14-14-14

34

21.75	15
21.75	16
21.75	17
21.75	18.95
21.75	19
21.75	19.95
21.75	20
21.75	21
21.75	21.45
21.75	22
21.75	23.40
21.75	23.95
21.75	25.52
21.75	26.37
21.75	27.00
21.75	27.63
21.75	28.44
21.75	29.44

RUN # 5
WORKFILE ID: C

REF ID:	AREA	TYPE	PP/MT	PP/60%
2.00	1579	D	0.000	0
2.04	11371	PH	0.014	0.320
2.06	1383	PH	0.012	0.040
2.16	3064	PH	0.024	0.233
2.15	30106	PH	0.016	0.071

C:\CAMS\5\ - Chrom 12

1	10.54	10.73	
2	12.01	12.33	13.20
3	15.58	15.64	
4	17.05	17.15	
5	19.60		
6	21.88		
7	23.95		
8	25.98		
9	27.48		

PUN 0
WORKFILE ID: C
WORKFILE NAME:

AREA	RT	AREA	TYPE	RT/MT	AREA	RT
2	66	453	PP	6.64	6	66
2	19	269	PP	6.153	6	153
2	14	679	PP	6.822	6	105
2	26	547	PP	6.822	6	312
2	23	588	PP	6.825	6	338
2	26	891	PP	6.819	5	874
2	25	157	PP	6.814	6	111
2	25	882	PP	6.814	6	585
2	24	2243	PP	6.820	1	222
2	63	789	PP	6.835	6	449
2	28	177	PP	6.826	6	158
2	29	288	PP	6.834	6	164
2	25	846	PP	6.825	6	442
2	29	848	PP	6.825	6	114
3	82	588	PP	6.831	6	484
3	11	789	PP	6.831	23	670
3	27	41566	PP	6.820	6	536
3	38	942	PP	6.834	6	531
3	46	933	PP	6.829	6	486
3	56	2618	PP	6.823	1	472
		2593	PP	6.825		

L-RENUMBER (2) 3/10/67



RUN # 2
WORKFILE ID: B
WORKFILE NAME:

DATA:

	OPEN	TYPE	OPEN	OPEN
6.97	14701E+02	TSPH	6.829	10.550
6.96	34044E+02	TSPH	6.826	10.562
7.97	14951E+02	TSPH	6.88	10.562
7.97	14951E+02	TSPH	6.88	10.562
11.8	11291E+02	TSPV	6.965	10.562
11.8	11291E+02	TSPV	6.967	10.562

C. Cresson 24-83-81

57

Line	Weight	Length	Time
1	1	200	11.17 16
2	1	200	11.25 19
3	1	200	11.26 23
4	1	200	11.26 24
5	1	200	11.27 25
6	1	200	11.28 26
7	1	200	11.29 27
8	1	200	11.30 28
Total			

DE MATERIALES ANALIZADOS, LOS ASES DE GRASAS DERIVADAS DE
LA SUSTANCIA QUÍMICA EN EL LUGAR DE LA EXPLOSIÓN FUE REALIZADA EN UNA
SOLERA. DIFERENTES DE ESTE EXPERIMENTO LAS CONDICIONES FUERON
DESPRECIAZAS.

88689 700001 INJECTION # 13416 NOV 18, 1967
2258 2

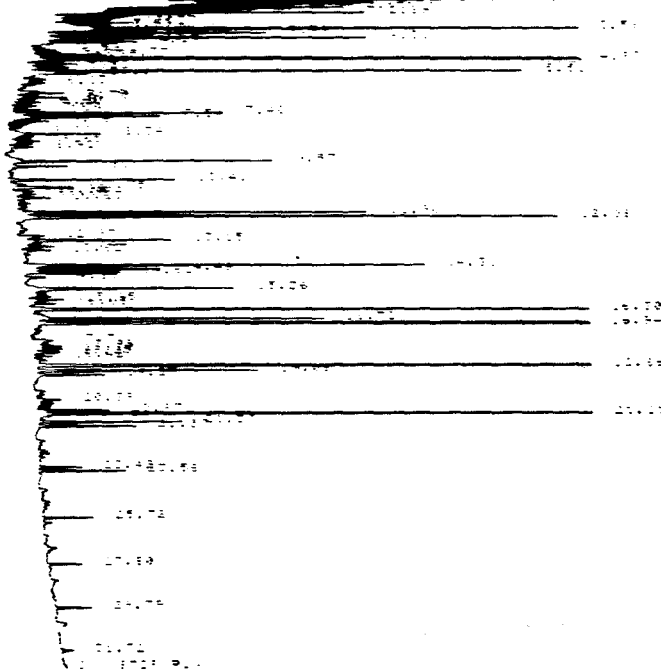
RT SPECIE TYPE REGN %

	0.94	0.95	0.96	0.95
	4.90	4.90		4.90
				5.21
	5.30	4.43		
	5.34		7.40	
	5.34			
	5.34		9.57	
	5.34		10.41	
	5.34			
	5.34		11.30	
	13.92		17.16	
			24.45	21.31
			15.36	
	13.95			
			16.42	
				16.30
				16.95
			19.23	
				18.86
	20.88			
	21.59			
				21.01
	23.35	9.3		
	25.73			
			27.86	
	27.98			
	29.53			
	29.53			
	31.72			
				OXY STOP RUN

ENR# 5886A MANUAL INJECTION @ 14:34 NOV 18, 1987
AREA %

RT

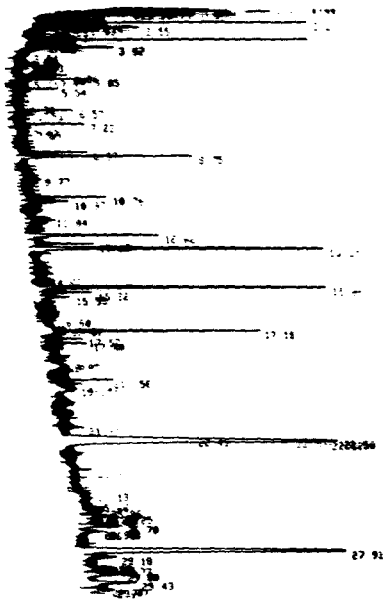
AREA TYPE AREA %



100% 100% MANUAL INJECTION @ 1315T - NOV 18, 1987
2000 8

BUIN # 7
WORKFILE ID_ B
WORKFILE NAME

AREA#	RT	AREA	TYPE	WEIGHT	AREA#
0 97	1	8567E+07	SBR	0 .021	36 35e
0 99		3941200	SAR	0 .005	17 563
1 02		28581100	SAR	1 .000	2 126
1 03		8884100	TBR	0 .016	2 125
1 07		29146	TBR	0 .000	0 .000
1 09		29577	OTR	0 .000	0 .000



- FROM 3

PIN # 4
ARTICLE #
WORKFILE #

AMER:

		45 HT	46 HT
#	1 2931 01	TW	TW
#	4444-1	TW	TW
#	1111	TW	TW
#	6666	TW	TW
#	34513 01	TW	TW
#	64666 TW	TW	TW
#	143570 TW	TW	TW
#	332450 TW	TW	TW

C. armator et al.

07/04/97 "

69

3.34

1.83

0.18

0.00

0.00

0.00

0.00

0.00

0.00

0.00

0.00

0.00

0.00

0.00

0.00

0.00

0.00

0.00

0.00

0.00

0.00

0.00

0.00

0.00

0.00

0.00

0.00

0.00

0.00

0.00

0.00

0.00

0.00

0.00

0.00

0.00

13.14

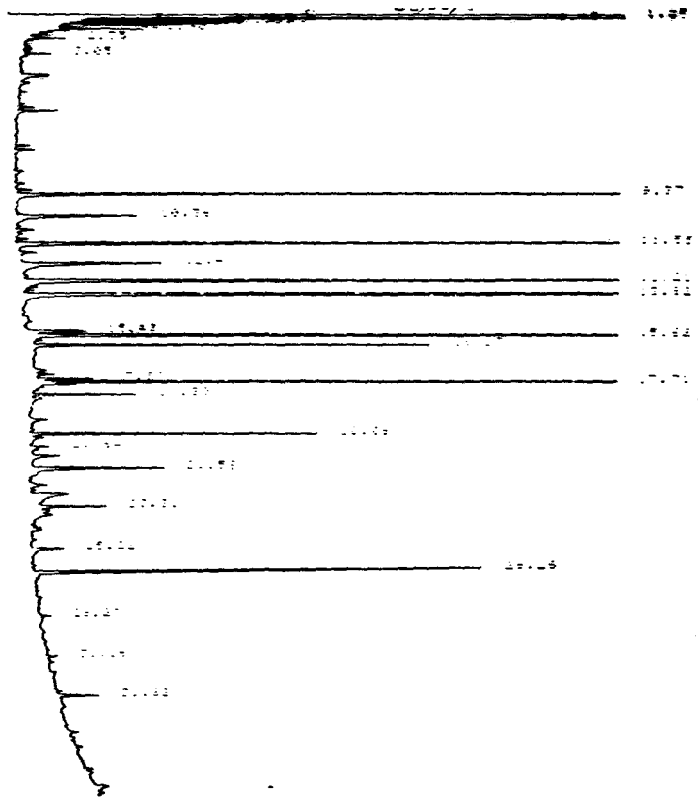
14.93

16.99

~~31.58~~

31.51 31.52 31.53 31.54
31.55 31.56 31.57 31.58
31.59 31.60 31.61 31.62
31.63 31.64 31.65 31.66
31.67 31.68 31.69 31.70
31.71 31.72 31.73 31.74
31.75 31.76 31.77 31.78
31.79 31.80 31.81 31.82
31.83 31.84 31.85 31.86
31.87 31.88 31.89 31.90
31.91 31.92 31.93 31.94
31.95 31.96 31.97 31.98
31.99 32.00 32.01 32.02
32.03 32.04 32.05 32.06
32.07 32.08 32.09 32.10
32.11 32.12 32.13 32.14
32.15 32.16 32.17 32.18
32.19 32.20 32.21 32.22
32.23 32.24 32.25 32.26
32.27 32.28 32.29 32.30
32.31 32.32 32.33 32.34
32.35 32.36 32.37 32.38
32.39 32.40 32.41 32.42
32.43 32.44 32.45 32.46
32.47 32.48 32.49 32.50
32.51 32.52 32.53 32.54
32.55 32.56 32.57 32.58
32.59 32.60 32.61 32.62
32.63 32.64 32.65 32.66
32.67 32.68 32.69 32.70
32.71 32.72 32.73 32.74
32.75 32.76 32.77 32.78
32.79 32.80 32.81 32.82
32.83 32.84 32.85 32.86
32.87 32.88 32.89 32.90
32.91 32.92 32.93 32.94
32.95 32.96 32.97 32.98
32.99 33.00 33.01 33.02
33.03 33.04 33.05 33.06
33.07 33.08 33.09 33.10
33.11 33.12 33.13 33.14
33.15 33.16 33.17 33.18
33.19 33.20 33.21 33.22
33.23 33.24 33.25 33.26
33.27 33.28 33.29 33.30
33.31 33.32 33.33 33.34
33.35 33.36 33.37 33.38
33.39 33.40 33.41 33.42
33.43 33.44 33.45 33.46
33.47 33.48 33.49 33.50
33.51 33.52 33.53 33.54
33.55 33.56 33.57 33.58
33.59 33.60 33.61 33.62
33.63 33.64 33.65 33.66
33.67 33.68 33.69 33.70
33.71 33.72 33.73 33.74
33.75 33.76 33.77 33.78
33.79 33.80 33.81 33.82
33.83 33.84 33.85 33.86
33.87 33.88 33.89 33.90
33.91 33.92 33.93 33.94
33.95 33.96 33.97 33.98
33.99 34.00 34.01 34.02
34.03 34.04 34.05 34.06
34.07 34.08 34.09 34.10
34.11 34.12 34.13 34.14
34.15 34.16 34.17 34.18
34.19 34.20 34.21 34.22
34.23 34.24 34.25 34.26
34.27 34.28 34.29 34.30
34.31 34.32 34.33 34.34
34.35 34.36 34.37 34.38
34.39 34.40 34.41 34.42
34.43 34.44 34.45 34.46
34.47 34.48 34.49 34.50
34.51 34.52 34.53 34.54
34.55 34.56 34.57 34.58
34.59 34.60 34.61 34.62
34.63 34.64 34.65 34.66
34.67 34.68 34.69 34.70
34.71 34.72 34.73 34.74
34.75 34.76 34.77 34.78
34.79 34.80 34.81 34.82
34.83 34.84 34.85 34.86
34.87 34.88 34.89 34.90
34.91 34.92 34.93 34.94
34.95 34.96 34.97 34.98
34.99 35.00 35.01 35.02
35.03 35.04 35.05 35.06
35.07 35.08 35.09 35.010

LA UNIDAD DE SEPARACIONES DE LIGAS ACOTAS Y FRACCIONES DEPIVADAS DE
ESTERILIZACION AEROGRESA. LA SEPARACION FUE REALIZADA EN UNA COLUMNA
DE VAPOR. EN ESTE PUNTO, LAS CANTIDADES PUEDEN DEPARTIR EN
SEPARACIONES.



14.14

13.23

12.35

14.00 P

15.27 10

15.45

15.54 20.98

15.79

15.81

15.67

24.70

25.39

25.00

25.27

24.44

L 770 - 270 15000 0 0 Elevation 2 1000000 ±
10.000000
10.74
An a
Arch
7.74

10.00

10.74

11.00

11.25

11.50

11.75

12.00

12.25

12.50

12.75

13.00

13.25

13.50

13.75

14.00

14.25

14.50

14.75

15.00

15.25

15.50

15.75

16.00

16.25

16.50

16.75

17.00

17.25

17.50

17.75

18.00

18.25

18.50

18.75

19.00

19.25

19.50

19.75

20.00

20.25

20.50

20.75

21.00

21.25

21.50

21.75

22.00

22.25

22.50

22.75

23.00

23.25

23.50

23.75

24.00

24.25

24.50

24.75

25.00

25.25

25.50

25.75

26.00

26.25

26.50

26.75

27.00

27.25

27.50

27.75

28.00

28.25

28.50

28.75

RUN 0 3
 WORKFILE 10.C
 WORKFILE NAME

ACN#	WEE	TYPE	X	Y	Z
2 41	1558	RP	0	623	0
2 42	565	PV	0	614	0
2 46	1517	PV	0	624	0
2 48	1525	PV	0	625	0
2 13	217	PV	0	623	0
2 22	1421	PV	0	627	0
2 23	2000	PV	0	638	0
2 31	26184	PV	0	619	0
2 32	3074	PV	0	611	0
2 33	517	PV	0	623	0
2 34	988	PV	0	629	0
2 35	3264	PV	0	616	0
2 36	599	PV	0	612	0
2 39	296	PV	0	629	0
2 40	229	PV	0	633	0
2 41	997	PV	0	624	0
2 42	686	PV	0	638	0
2 43	4482	PV	0	621	0
2 44	752	PV	0	619	0
2 45	876	PV	0	638	0
2 46	2777	PV	0	642	0
2 47	318	PV	0	617	0
2 48	114498	PV	0	611	0

RUN # 4
MORTALITY 11
MORTALITY 100%

AREA:

81 88 95 96 115 120 21 23 35 42 49 52 55 58 64 71 88 96 97 98 99

1387 683 1637 1386 2144 72 2600 27187 3235 6140 71 34 6571 2924 2548 951 884 4641 435 356 579 2177

W W W W W W W W W W W W W W W W W W W W

824 815 823 816 823 825 826 818 838 822 825 817 819 827 834 831 828 829 826 818 817 817

180 855 132 112 222 146 161 198 262 467 533 292 523 236 285 861 855 875 835 878 842

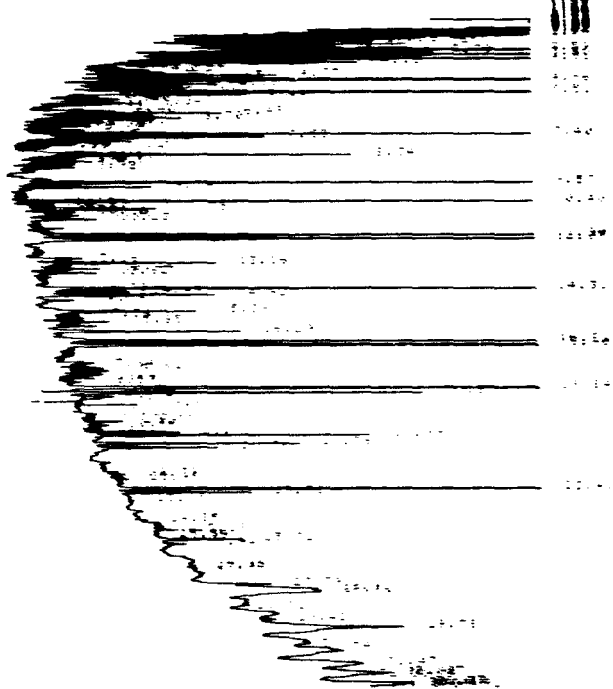
OPERAÇÕES PREDATÓRIAS DE LCGT, ANTES DA SAÍDA DE DEFESA, DE
BATERIA DE 120MM, SITUAÇÃO ATUAL DA DEFESA, E DE REAÇÕES EM FASE
DE DEFESA, COMO TAMBÉM A TÉCNICA EMPREGADA PARA A DEFESA DE DEFESA
DE 120MM, EM MILITAR.

THREE HILL 2

2000 200

E ast.

Crown 28⁷⁵
11 - Nov - 52



[REDACTED]

[REDACTED]

1975-01-10 14.21

1975-01-10 14.22

1975-01-10 14.23

1975-01-10 14.24

1975-01-10 14.25

1975-01-10 14.26

1975-01-10 14.27

1975-01-10 14.28

1975-01-10 14.29

1975-01-10 14.30

1975-01-10 14.31

1975-01-10 14.32

1975-01-10 14.33

1975-01-10 14.34

1975-01-10 14.35

1975-01-10 14.36

1975-01-10 14.37

1975-01-10 14.38

1975-01-10 14.39

1975-01-10 14.40

1975-01-10 14.41

1975-01-10 14.42

1975-01-10 14.43

1975-01-10 14.44

1975-01-10 14.45

ESTA TESIS NO DEBE
SALIR DE LA BIBLIOTECA

ESTA TESIS NO DEBE SALIR DE LA BIBLIOTECA. SE HA PREPARADO EN UNOS INSTRUMENTOS
ESPECIALES PARA SU USO EN LA BIBLIOTECA. SE HA PREPARADO EN UNOS INSTRUMENTOS
ESPECIALES PARA SU USO EN LA BIBLIOTECA. SE HA PREPARADO EN UNOS INSTRUMENTOS
ESPECIALES PARA SU USO EN LA BIBLIOTECA.

dia

II

Opus 78

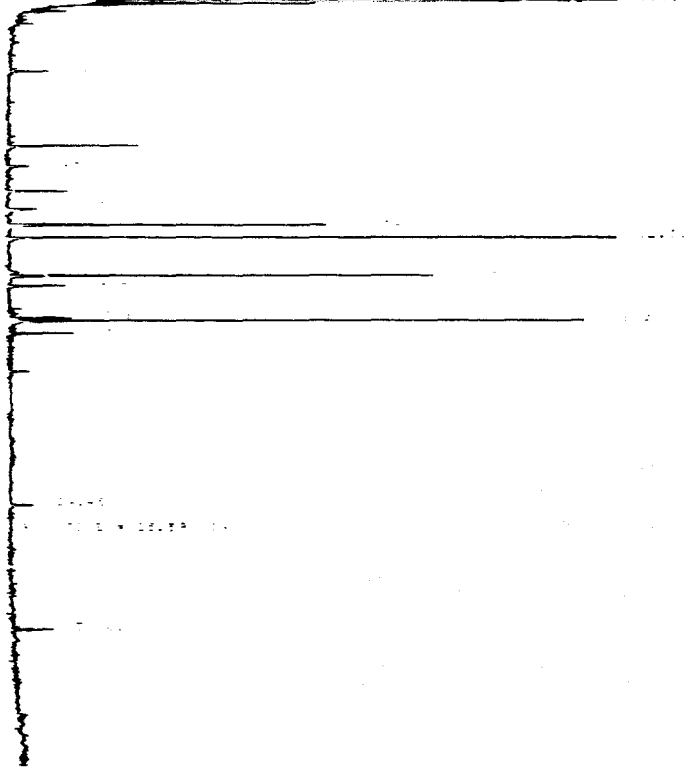
80

1133

1

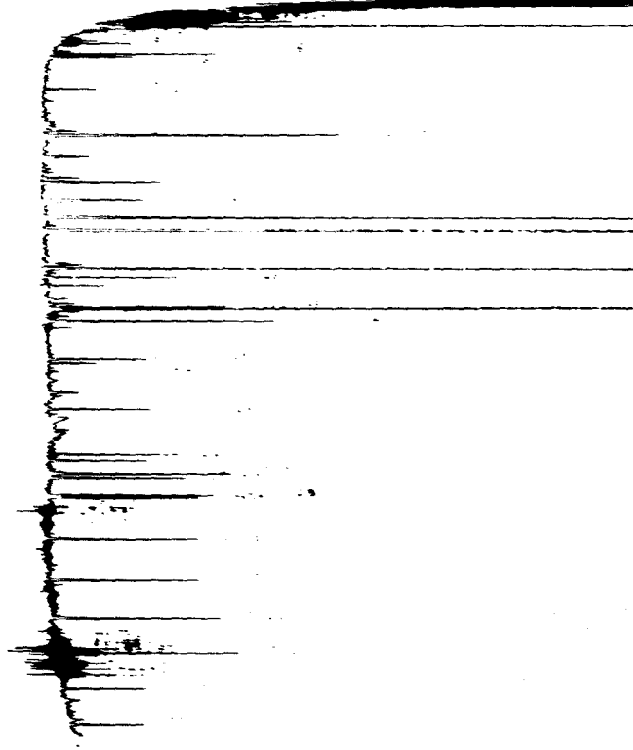
Classification 10-7-87

4-34-81



E-6 271

2000-1000



Counting area

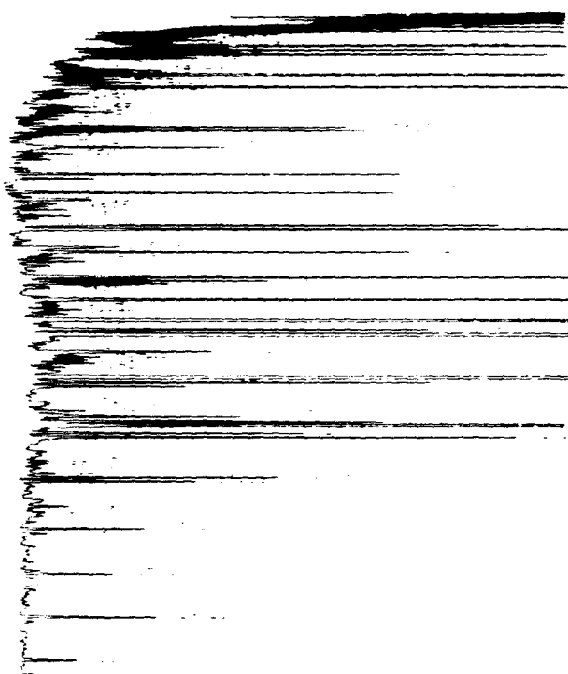
23

E

A-

CROW 25

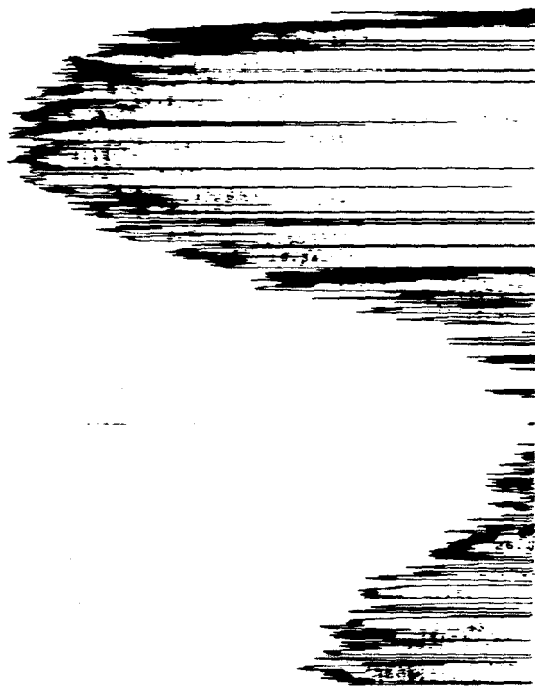
25-Nov-82



~~U.S. GOVERNMENT~~ - 25

E. cinnaceae 3

25-Nov-87-88



095

U.S. GOVERNMENT PRINTING OFFICE: 1986 40-200-1077
25-Nov-87-88

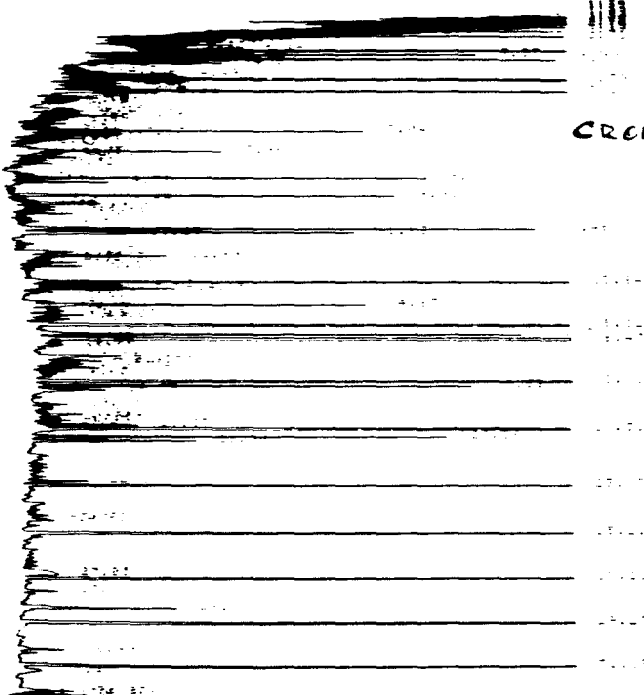
1000 1000 1000 1000

CROM 24

Cromatogram 24

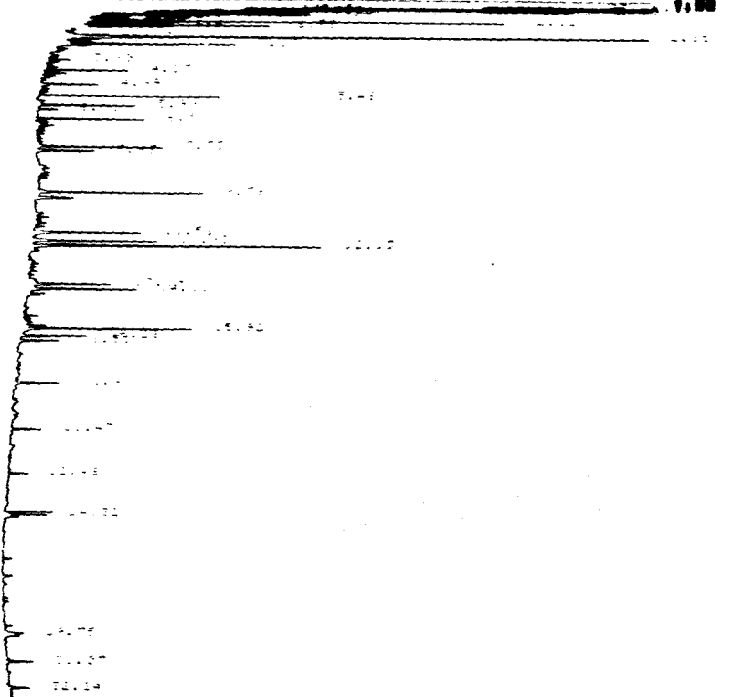
3 1 2

25 - No. 87



F 29 mm 64-89

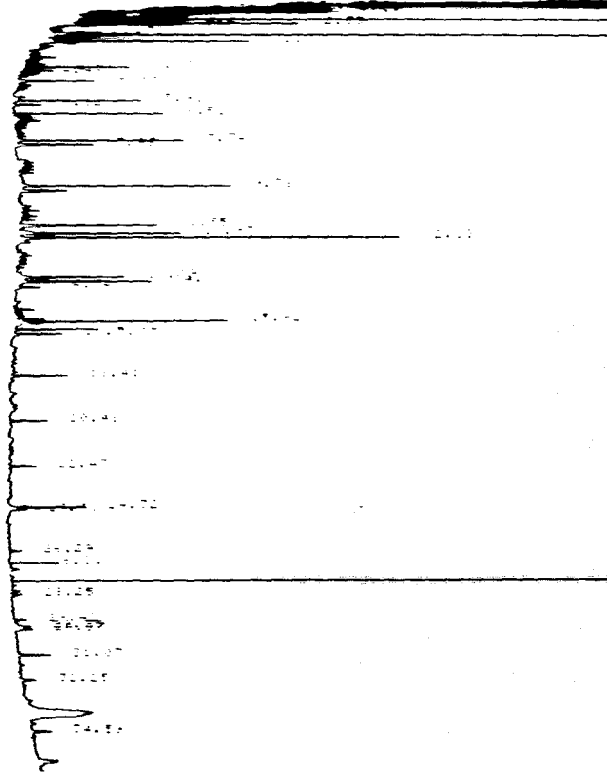
(14)



18-7-89

E. C. 2000

87



014

LA SUSTITUCIÓN DE LOS TUBOS DE COLESTEROL SE DICE QUE SE HACE EN UNA COLUMNA DE VIDA DE 10000 AÑOS. ESTE TIPO DE VIDA SE HA PROPUESTA EN UNA SUCESIÓN DE 10000 AÑOS.

~~Countogram of TE w. 4~~

~~25-Nov-82~~

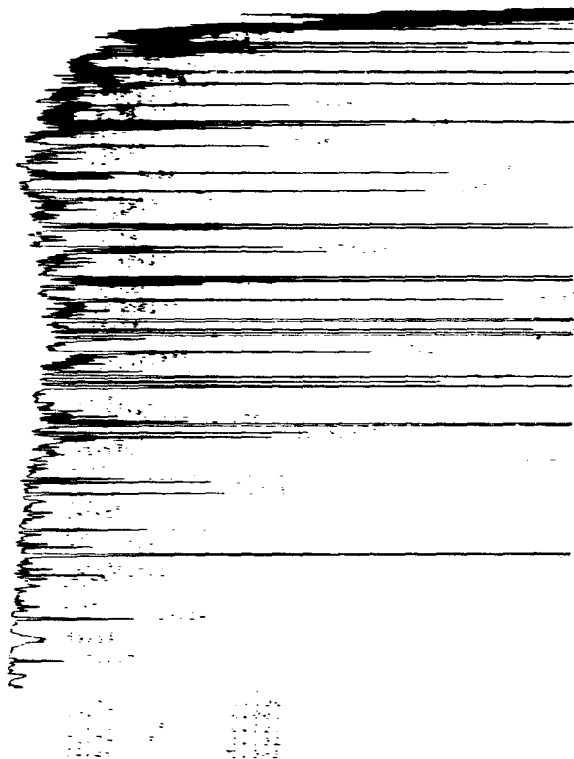
~~exp 30~~

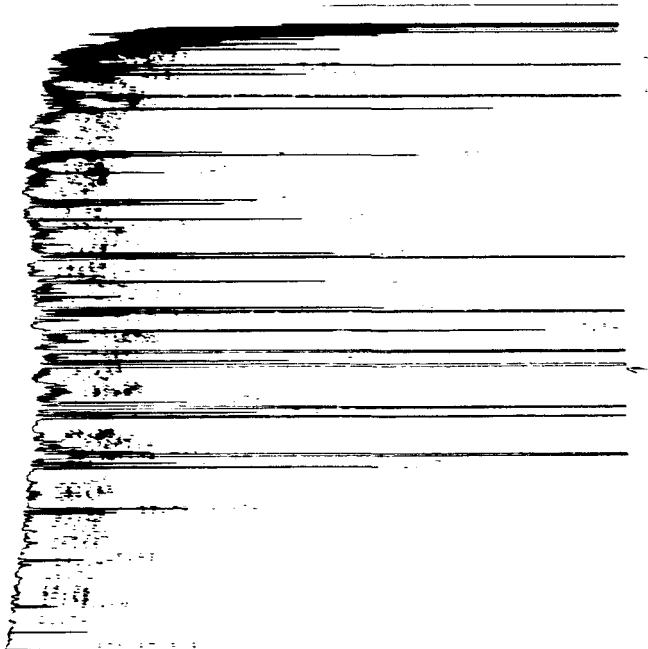


Croton Reservoir 88.6

25-Nov-82

unum 32





DATE	4424	4425	4426
10/1/90	✓	✓	✓
10/2/90	✓	✓	✓
10/3/90	✓	✓	✓
10/4/90	✓	✓	✓
10/5/90	✓	✓	✓
10/6/90	✓	✓	✓
10/7/90	✓	✓	✓
10/8/90	✓	✓	✓
10/9/90	✓	✓	✓
10/10/90	✓	✓	✓
10/11/90	✓	✓	✓
10/12/90	✓	✓	✓
10/13/90	✓	✓	✓
10/14/90	✓	✓	✓
10/15/90	✓	✓	✓
10/16/90	✓	✓	✓
10/17/90	✓	✓	✓
10/18/90	✓	✓	✓
10/19/90	✓	✓	✓
10/20/90	✓	✓	✓
10/21/90	✓	✓	✓
10/22/90	✓	✓	✓
10/23/90	✓	✓	✓
10/24/90	✓	✓	✓
10/25/90	✓	✓	✓
10/26/90	✓	✓	✓
10/27/90	✓	✓	✓
10/28/90	✓	✓	✓
10/29/90	✓	✓	✓
10/30/90	✓	✓	✓
10/31/90	✓	✓	✓